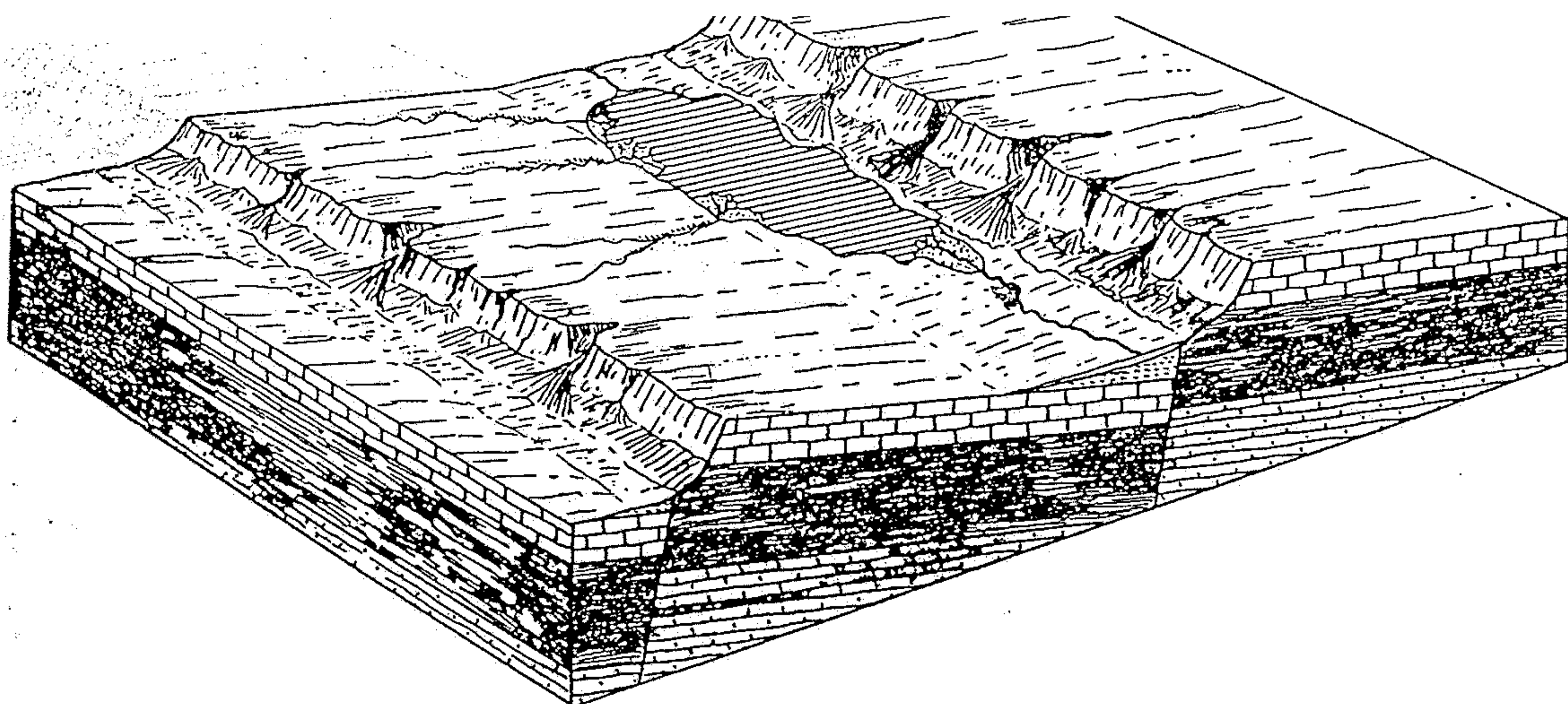
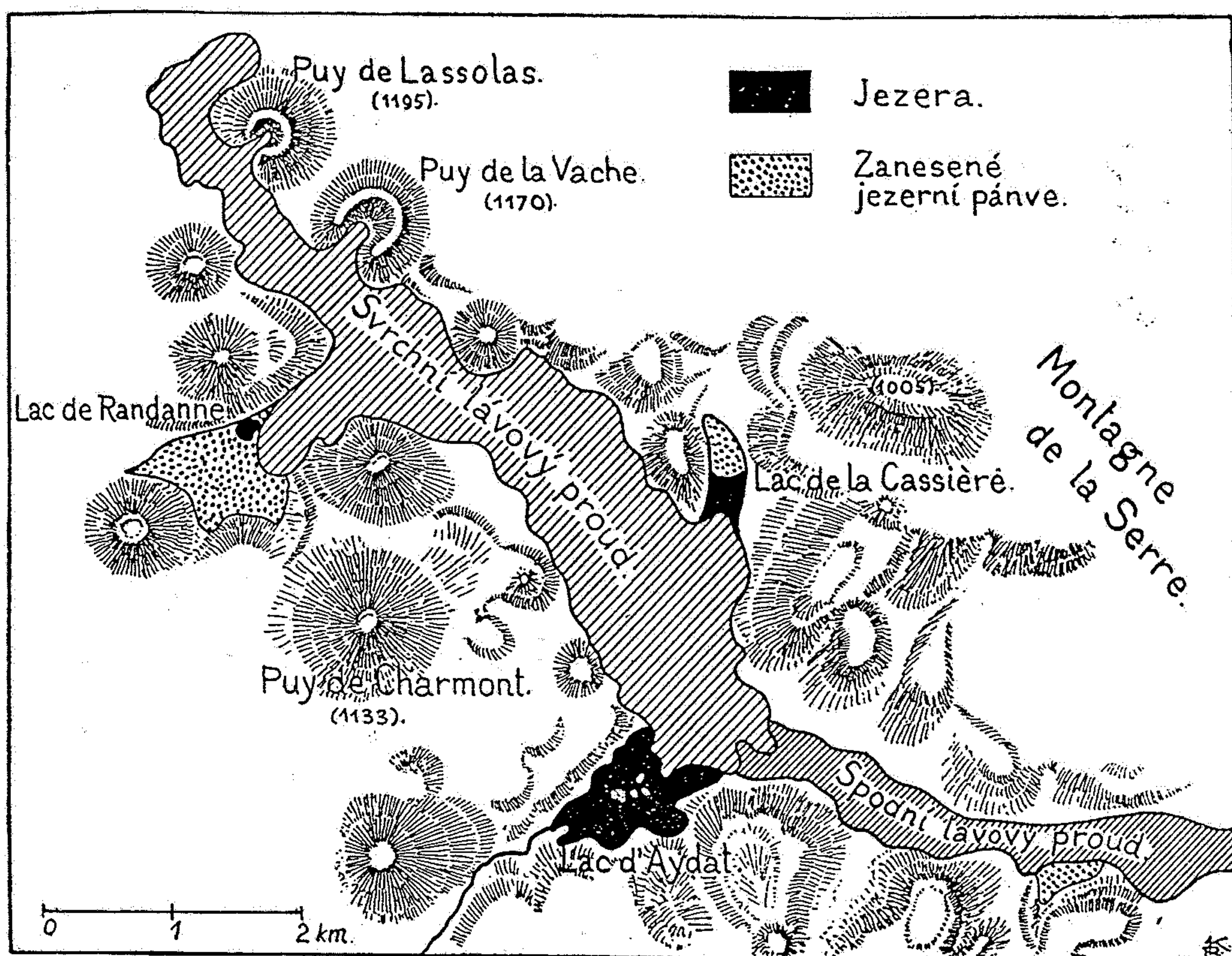


*Obr. 17.3. Schéma členenia jazier podľa spôsobu vzniku nádrže. a – hlbené, b – hra- dené. (podľa Činčuru 1985)*

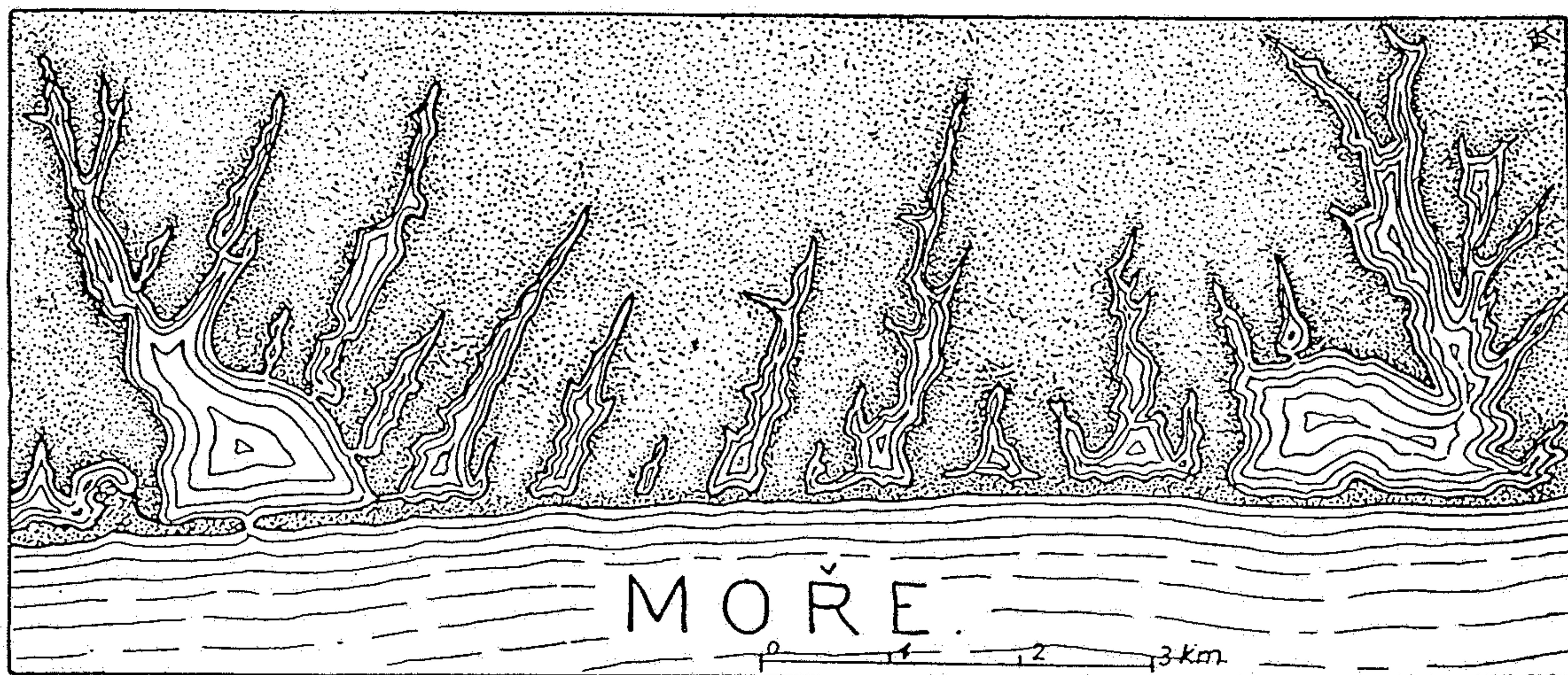




Obr. 254. Jezerní pánev vytvořená po poklesu ker podle zlomu. Idealisované znázornění poměrů Abertova jezera v Oregonu (USA).

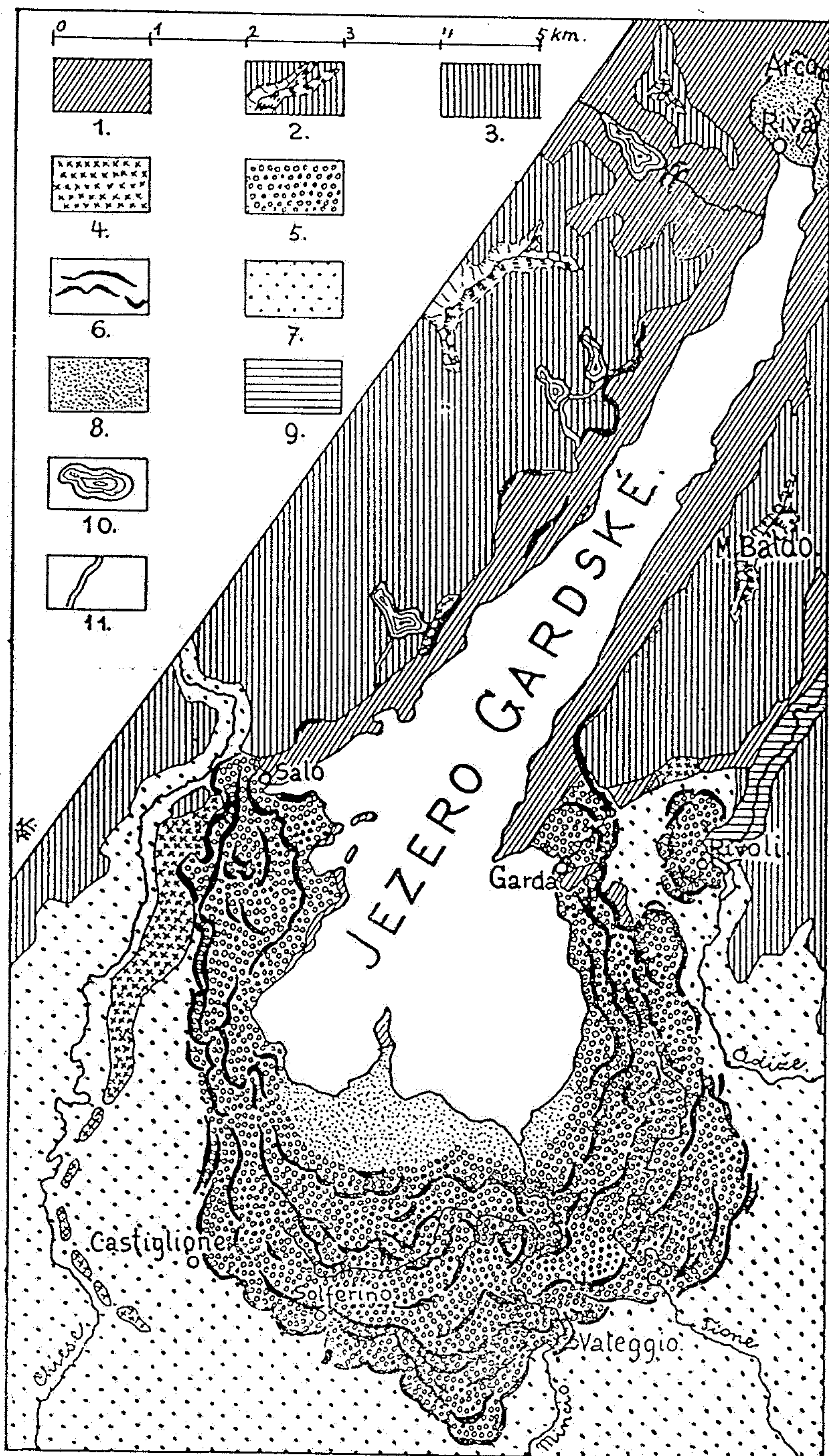


Obr. 257. Jezera: Lac d'Aydat, Lac de la Cassière a Lac de Randanne v Auvergni ve Francii vzniklá zahrazením vodních toků lávovými proudy. (Upraveno podle P. GLANGEAUDA.)



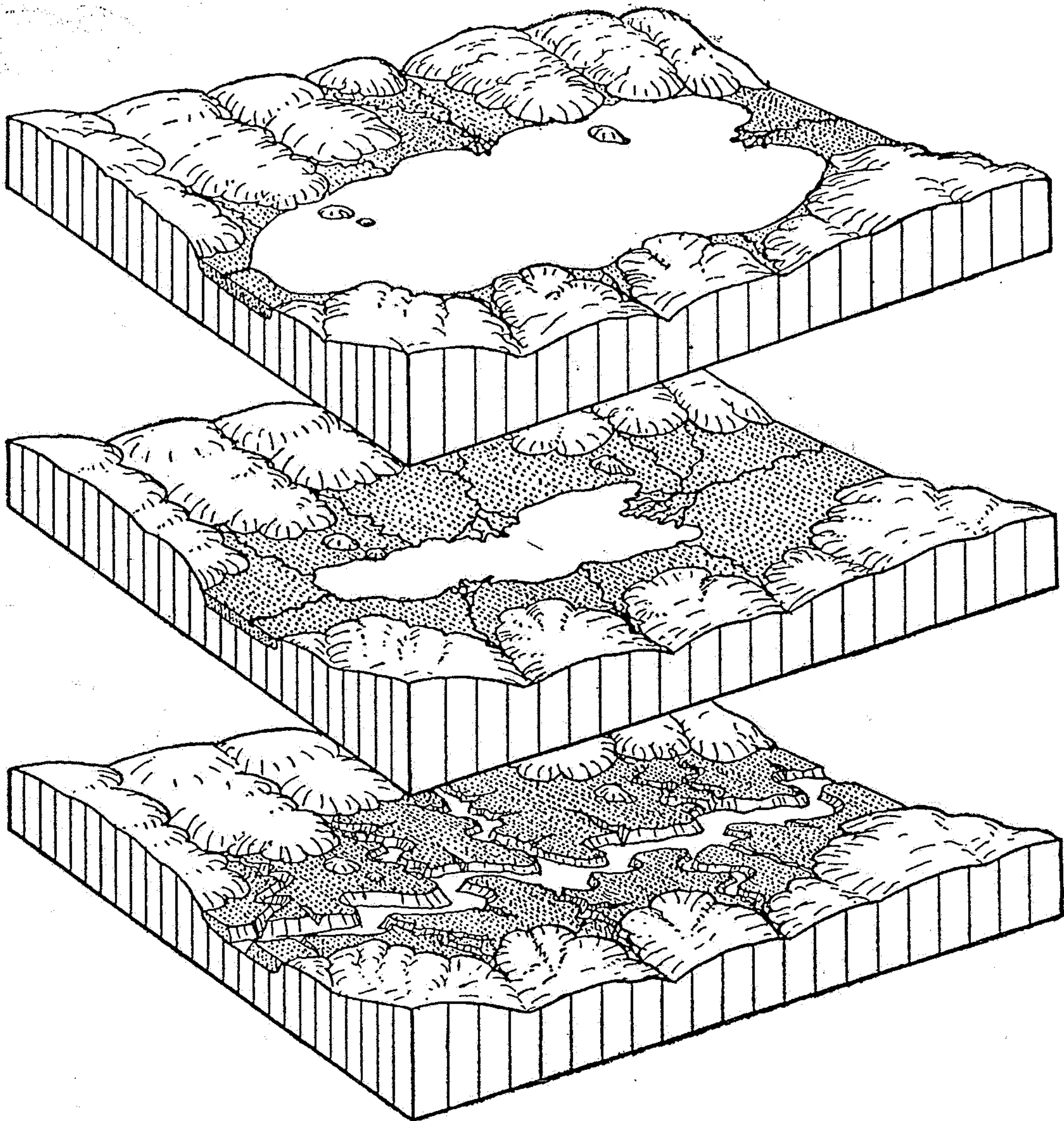
Obr. 260. Jezera na plochem přimoří Atlantického oceánu, vzniklá z limanů oddělením jich od moře pobřežními písečnými hrázi. Hráze se vytvořily spojenou činností větru, mořských vln a mořských proudů. Massachusetts, USA. (Podle U. S. Geol. Surveys.)





Obr. 259. Gardské jezero v sev. Itálii vzniklé zahrazením čelními morénami alpských ledovců. 1. = horské oblasti, kdysi zaledněné, 2. = firnoviště, 3. = horské oblasti nezaledněné, 4. = staré morény, 5. = mladé morény, 6. = morénové valy, 7. = šterky spodní terasy, 8. = zanesené části jezerní pánve Gardského jezera, 9. = oblast někdejšího jezera v údolí Adiže, 10. = glaciální jezera na záp. od Gardského jezera, 11. = glaciální odtokové rýhy z těchto jezer. (Upraveno podle A. PENCKA a E. BRÜCKNERA.)





Obr. 300. Zánikání jezer (schematicky). Po vyplnění jezerní pánve nánosy řek se tyto nánosy erodí opět rozbrázdňují. (Podle J. K u n s k é h o.)

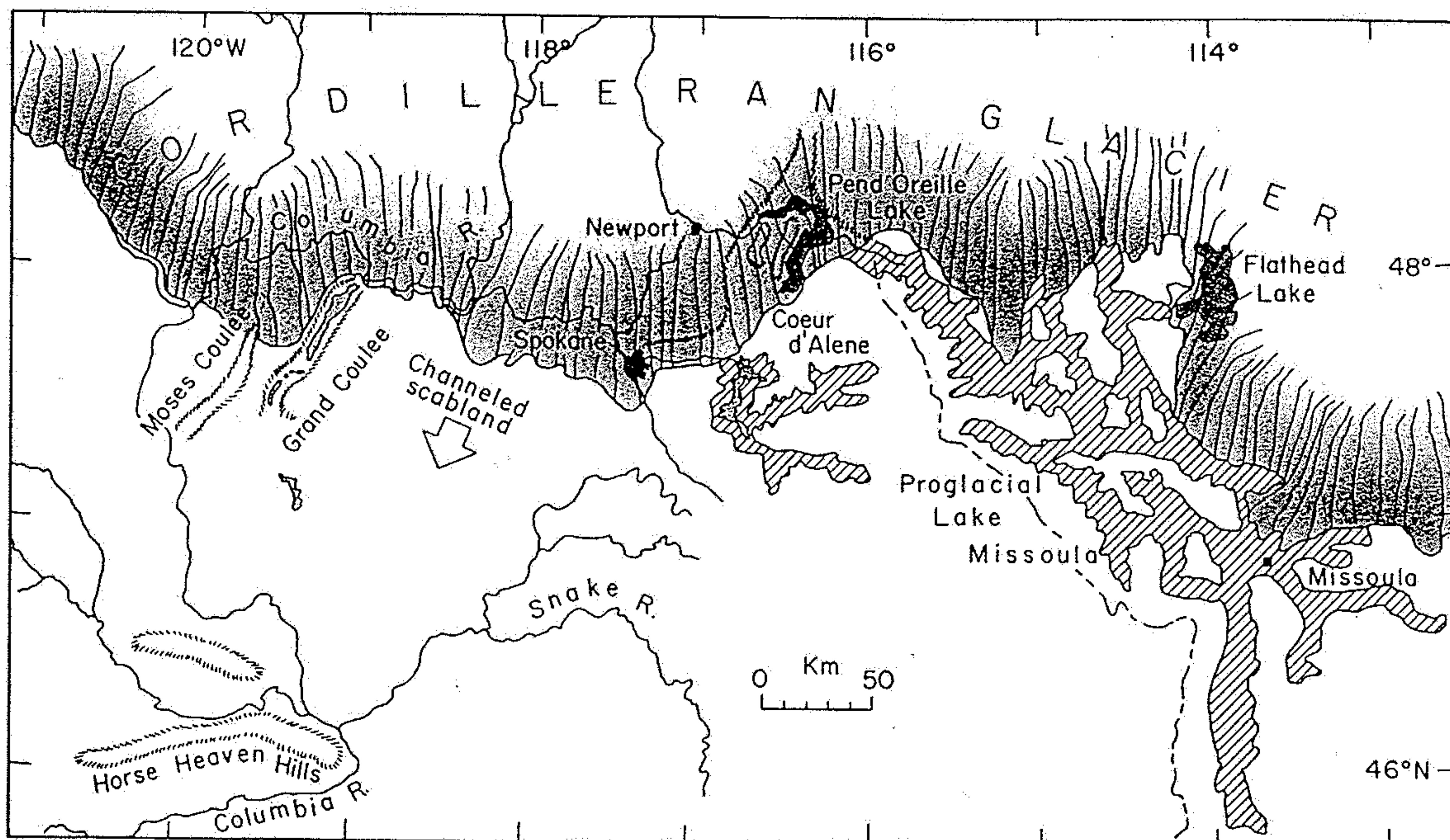
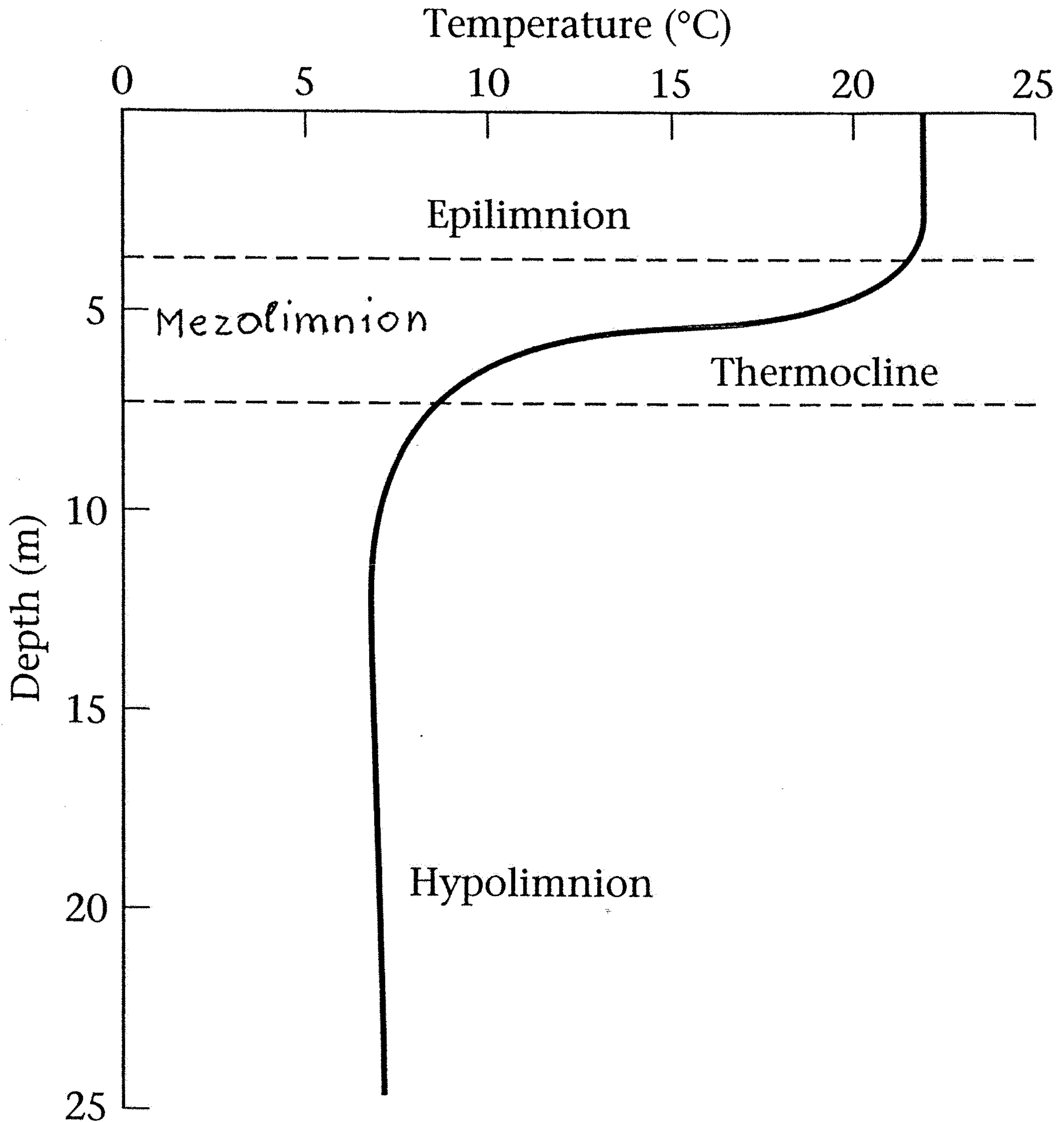
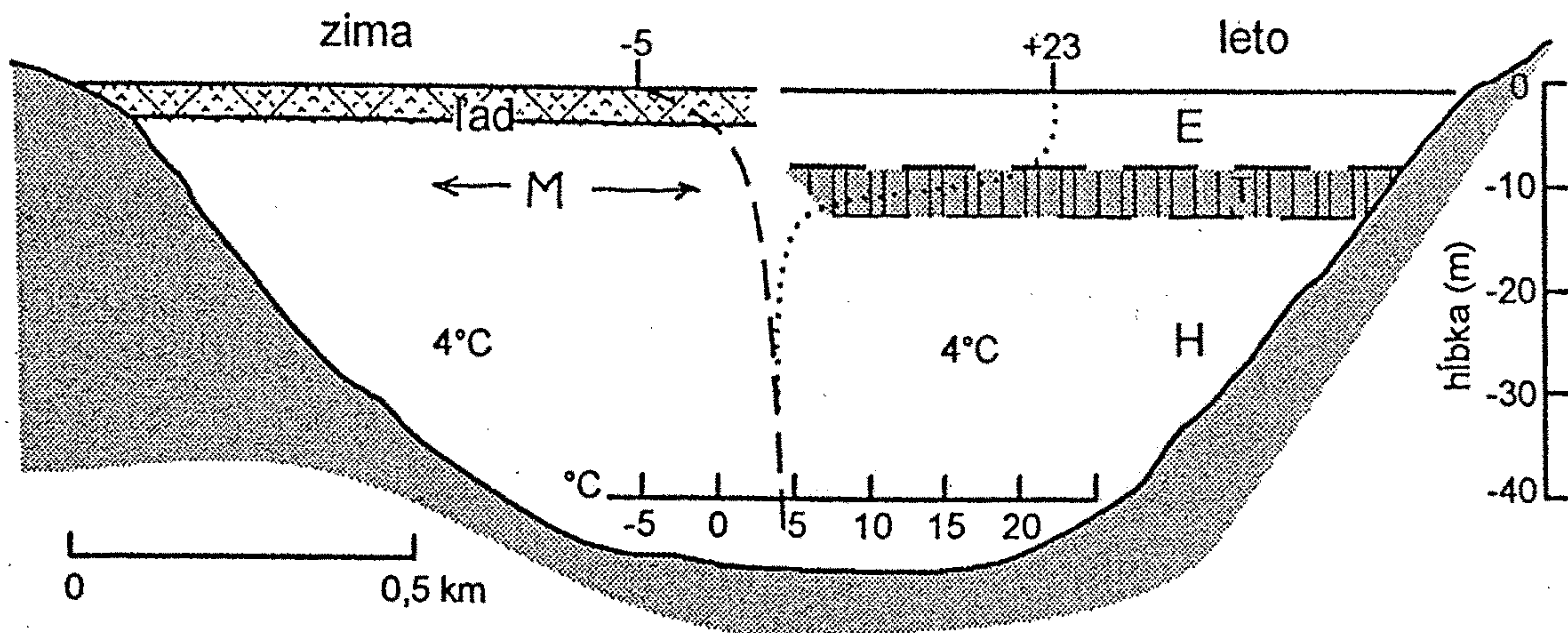


Figure 9-2 Parts of northwestern Montana, northern Idaho, and northeastern Washington showing proglacial Lake Missoula (location map on Fig. 8-50, A). This former lake was dammed against the southern margin of the Cordilleran glacier. Waters from Lake Missoula evidently flowed southwestward several times in the form of gigantic sheet floods. Map shows possible flow routes to the channeled scabland in northeastern Washington. See also Figure 9-3. (Replotted from J. H. Bretz, H. T. U. Smith, and G. E. Neff, 1956, Fig. 23, p. 1036, and Fig. 24, p. 1038.)

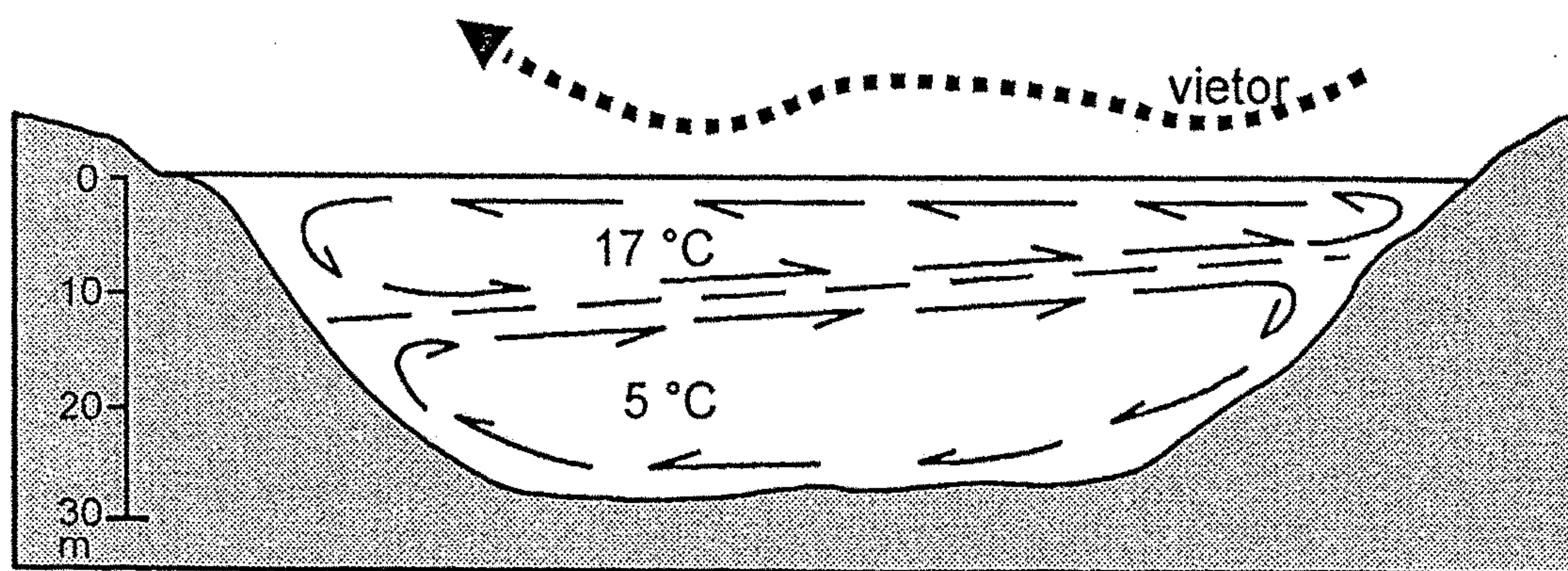


**Figure 9.15.** A typical thermal trough in a temperate freshwater lake in summer. m = meters, (Source: Adapted from E. K. and R. Turner, *The global water cycle*, Prentice-Hall, 1987.)



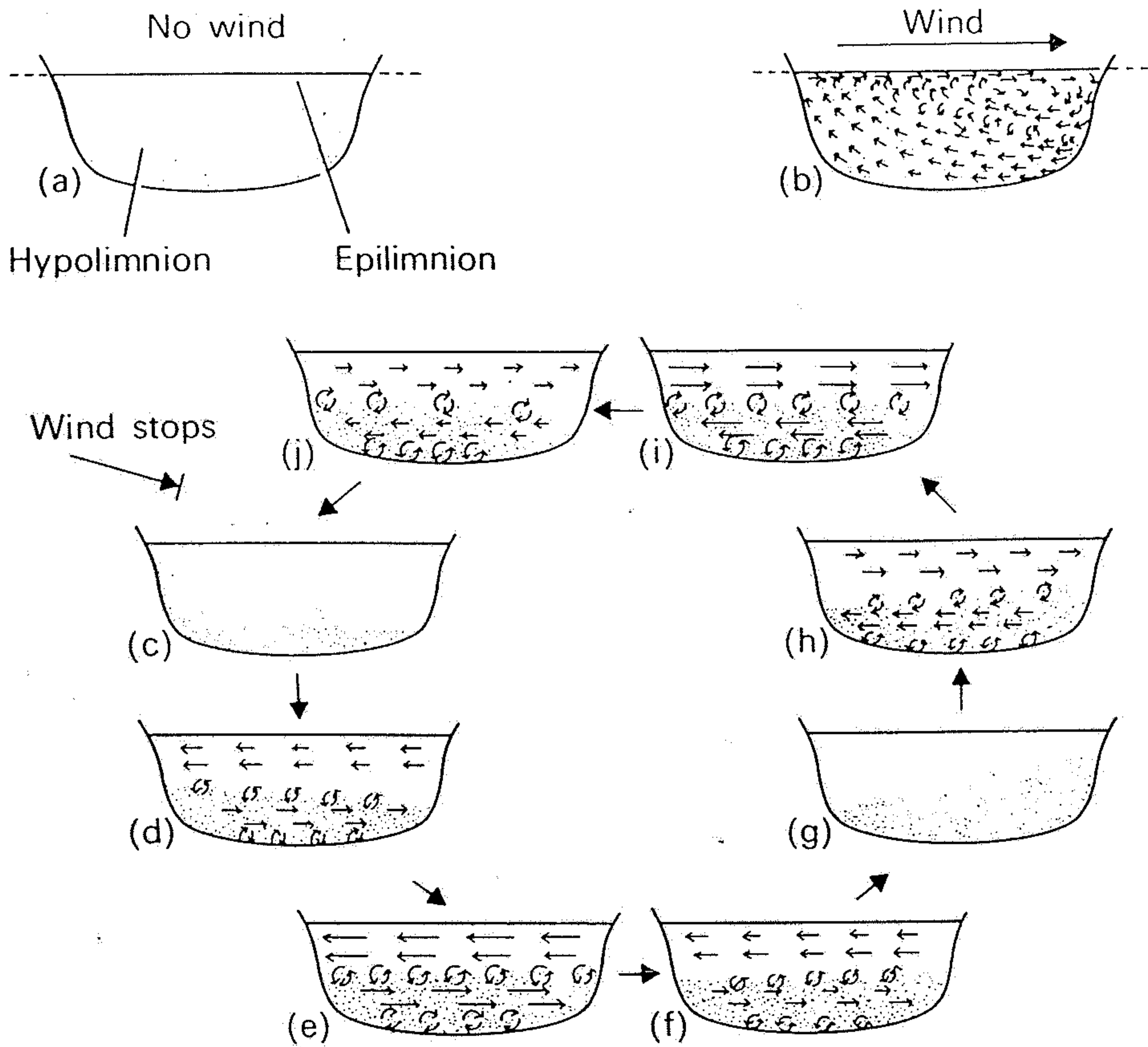


Obr. 17.1. Priebeh teploty vody v hlbších jazerách v zime (čiarkovaná krivka) pri teplote vzduchu  $-5^{\circ}\text{C}$  a v lete (bodkovaná krivka) s teplotou pri hladine  $23^{\circ}\text{C}$  a možným rozvrstvením: E – horná vrstva vody (epilimnión), T – skočná vrstva vody (termoklína) a H – hlbinná voda (hypolimnión). (upravené podľa Pokorného 2000)

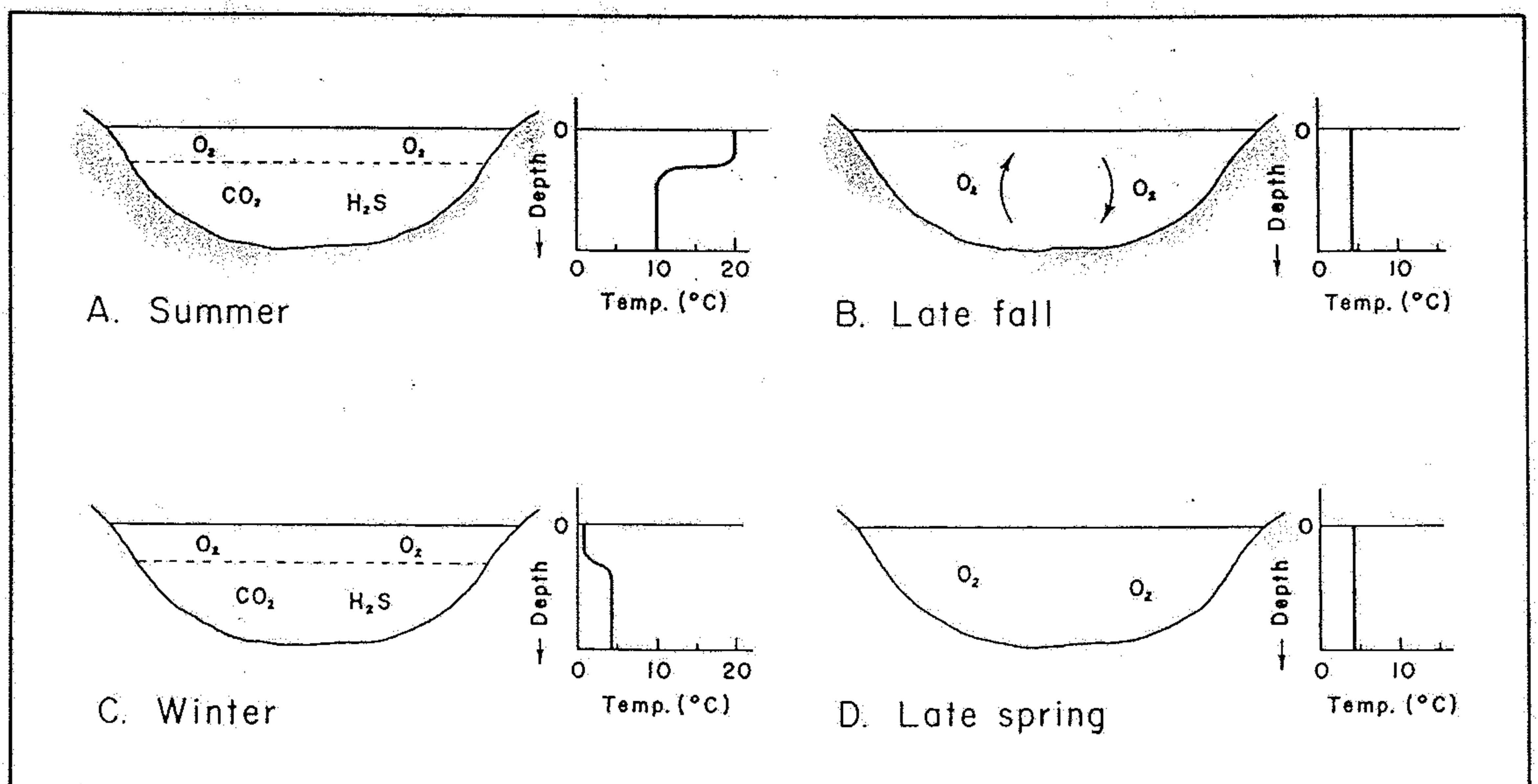


Obr. 17.2. Ostré rozhranie (skočná vrstva – šikmá trhaná čiara) medzi teplou hornou a studenou hlbinnou jazernou vodou sa udržiava vďaka vetrom vyvolanému prúdeniu v dvoch konvekčných bunkách. (upravené podľa Vitáska 1956)



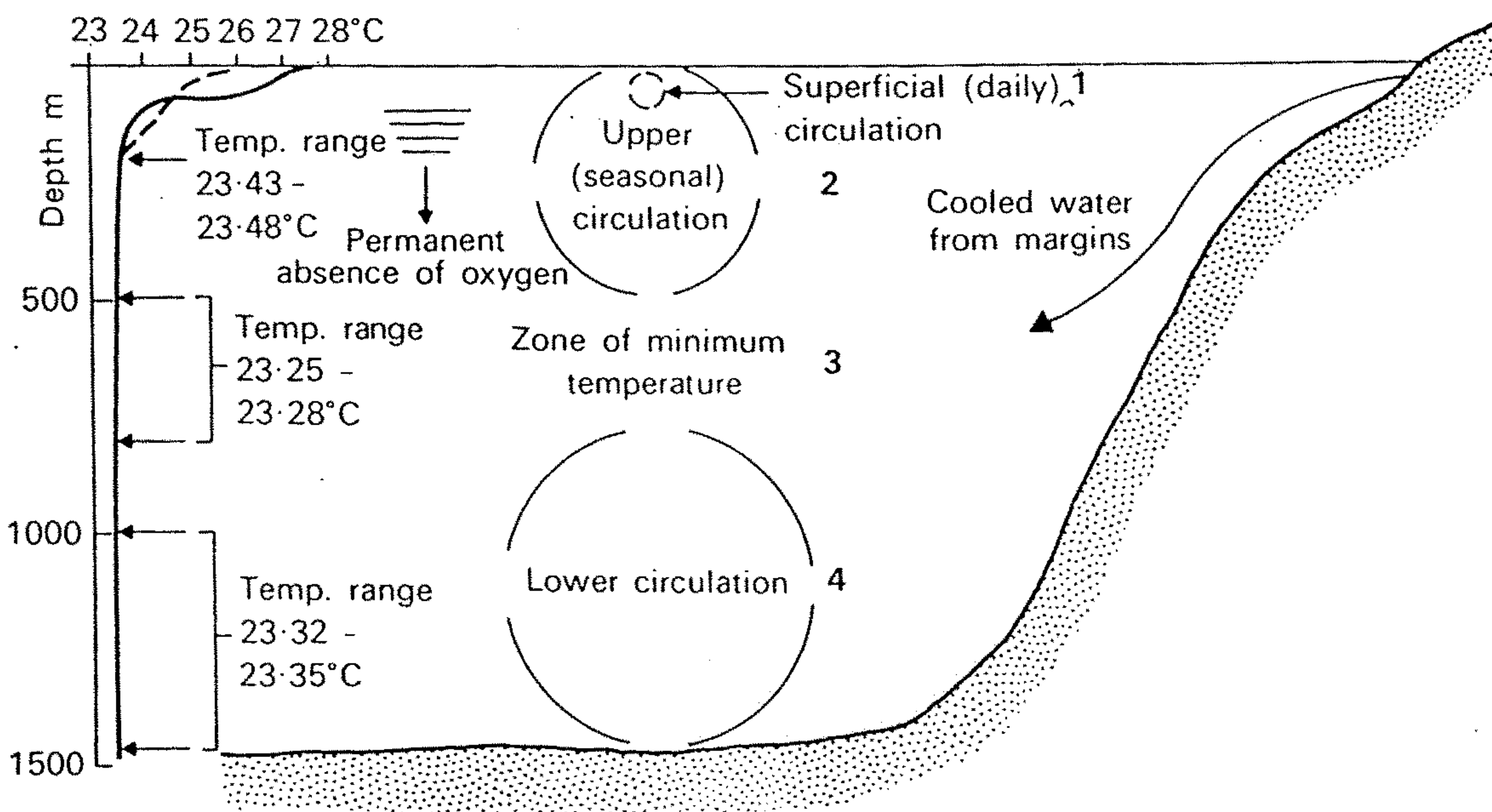


**Fig. 4.3.** Effect of a steady wind-driven current in a two-layered stratified lake. (a) No wind, (b) windward end of the lower layer is tipped upwards and its upper surface is eroded by the return current in upper layer, (c) wind stops and lower layer is reduced because part of it has been stirred into the upper layer, (d)–(j) one cycle of an internal oscillation wave (seiche) following cessation of wind to illustrate how opposing currents in the two layers cause turbulent mixing within layers, between them and along the bottom. Lengths of arrows and diameters of circles indicate the magnitude of velocities and the intensity of turbulence (after Beadle, 1974. Fig. 6.1).

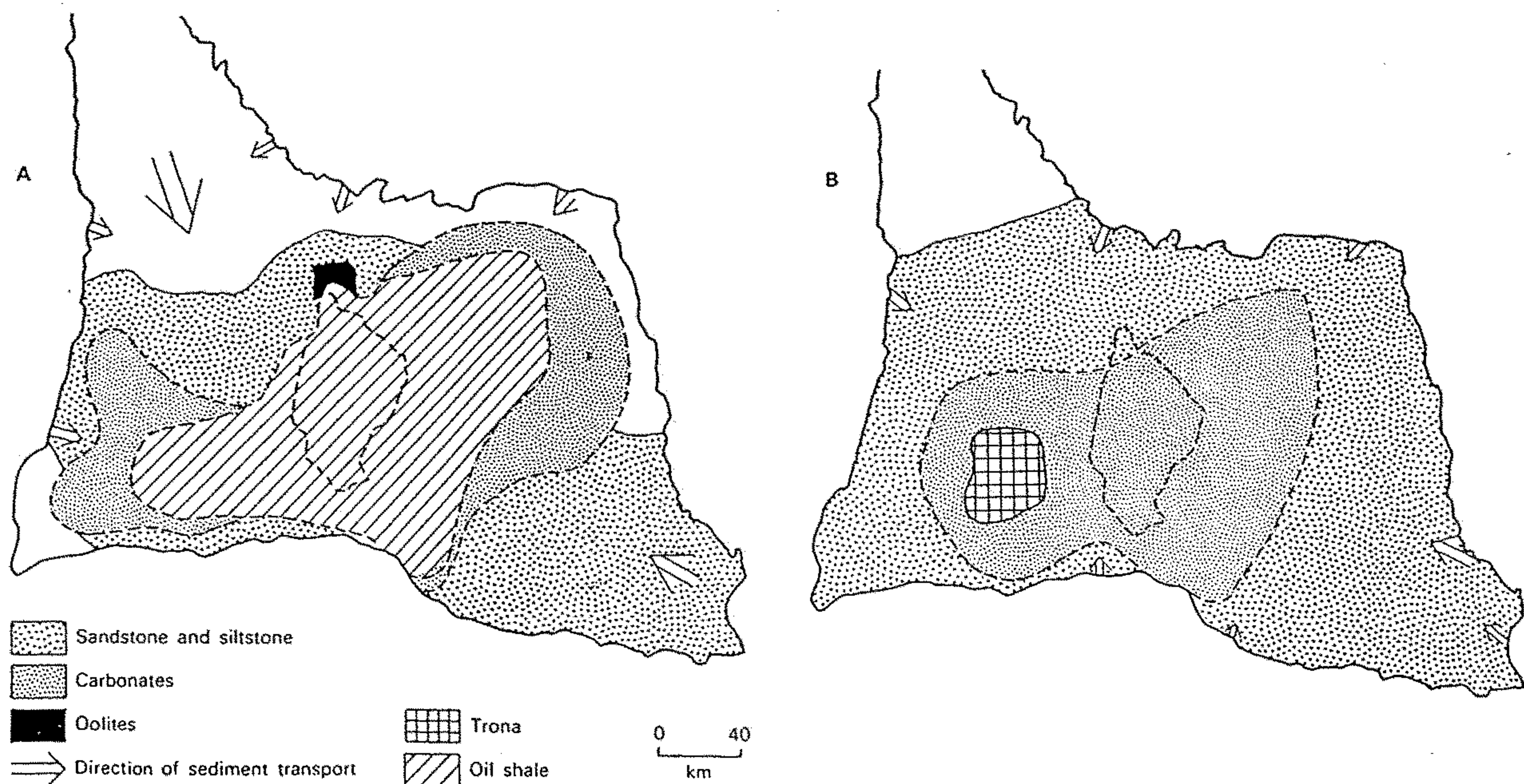


**Figure 9-5** Schematic profiles through small lake in temperate climate zone with temperature-versus-depth graphs for water at various seasons of this year. Relationships for late fall (B) shown after annual overturn and upwelling has occurred; water is isothermal at  $3.98^\circ C$ . Further explanation in text. (After W. H. Bradley, 1948, Fig. 2, p. 637.)





**Fig. 4.1.** Temperature profiles from Lake Tanganyika showing suggested regions of circulation and an 'epilimnion' down to about 50–80 m subject to daily circulation (1), a 'metalimnion' down to at least 200 m, subject to seasonal circulation (2) and a 'hypolimnion' which is free of oxygen and has a more or less uniform temperature (3 + 4) (after Beadle, 1974, Fig. 6.2).



**Fig. 4.9.** Distribution of 'Lake Gosiute' lithofacies during (A) high stand in middle Tipton time and (B) low stand in middle Wilkins Peak time. Lacustrine facies represented by oil shale or trona; mud-flat

facies by carbonates; marginal facies by sandstone and siltstone (after Surdam and Wolfbauer, 1975).

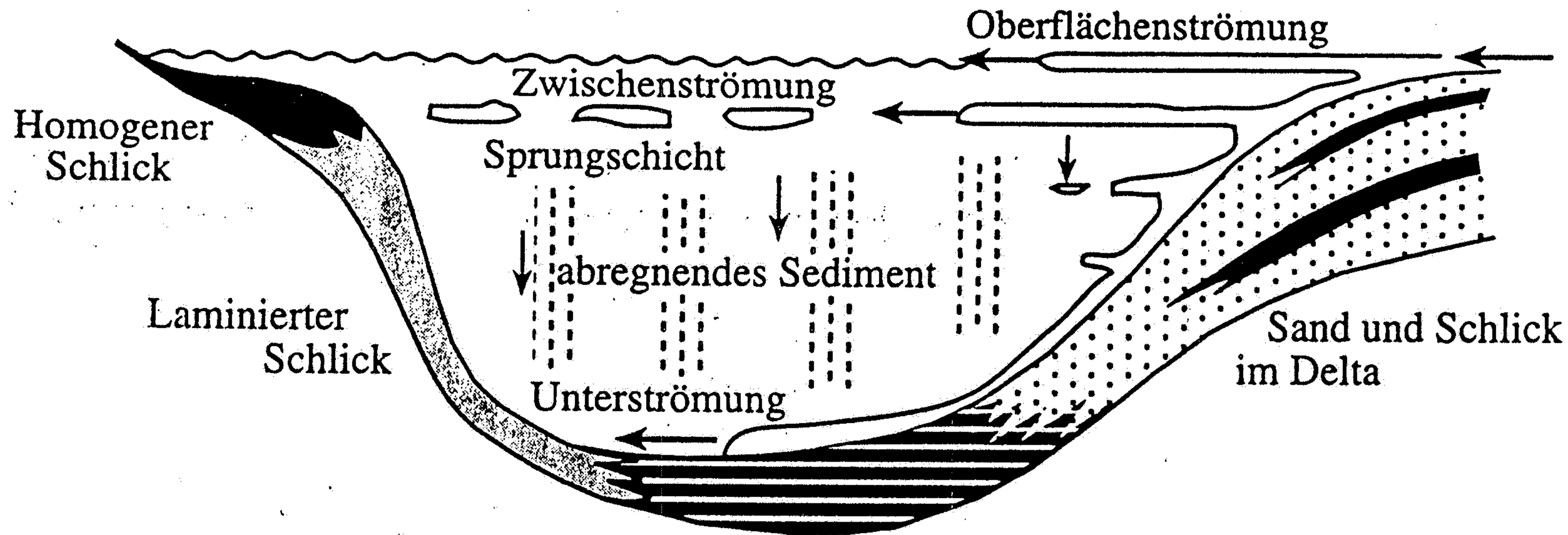


Uferbank

Seehang

Seebecken

Delta

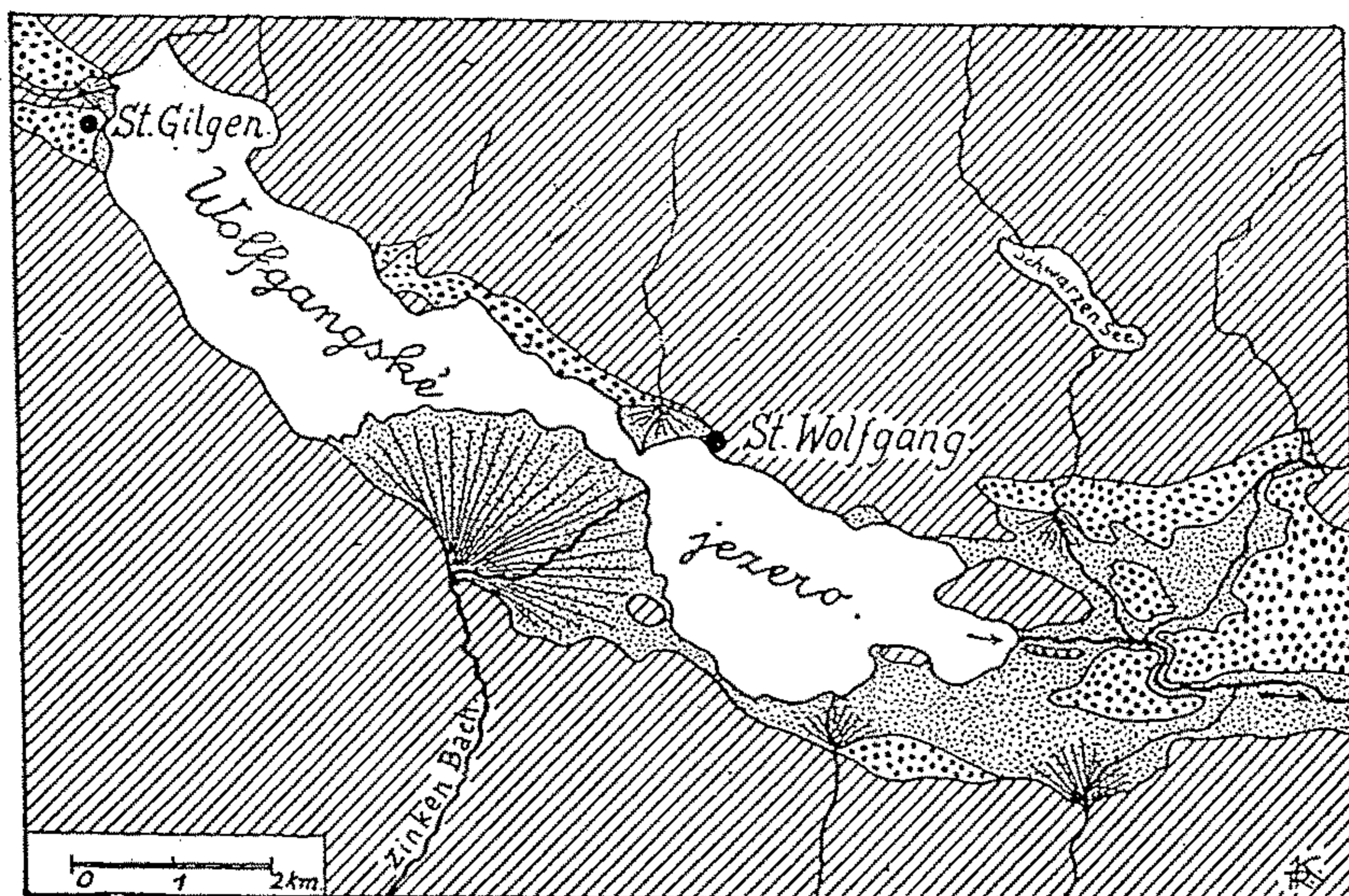


Laminierter Schlick und  
turbiditischer Sand der Beckenebene

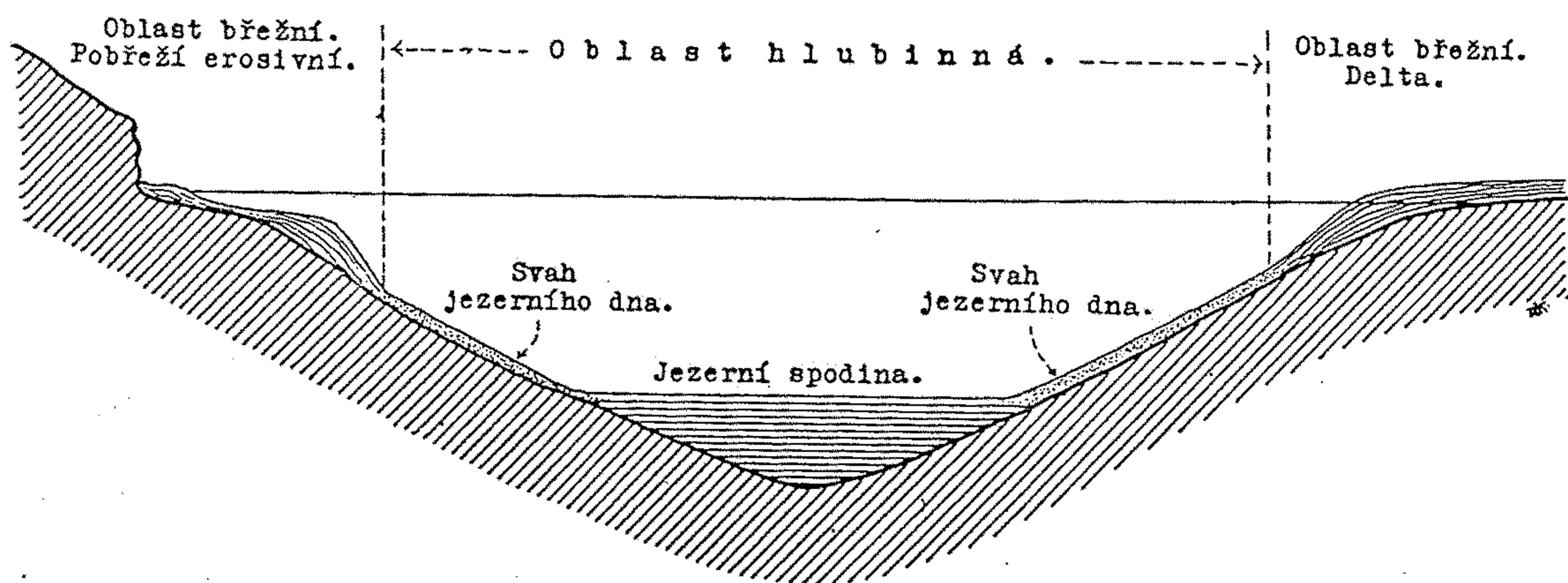
**Abb. 5.32**

Schematisches Querprofil durch  
einen See und die relative Lage der  
verschiedenen Dichteströmungen  
innerhalb des Seewasserkörpers  
(nach STURM & MATTER, 1978).

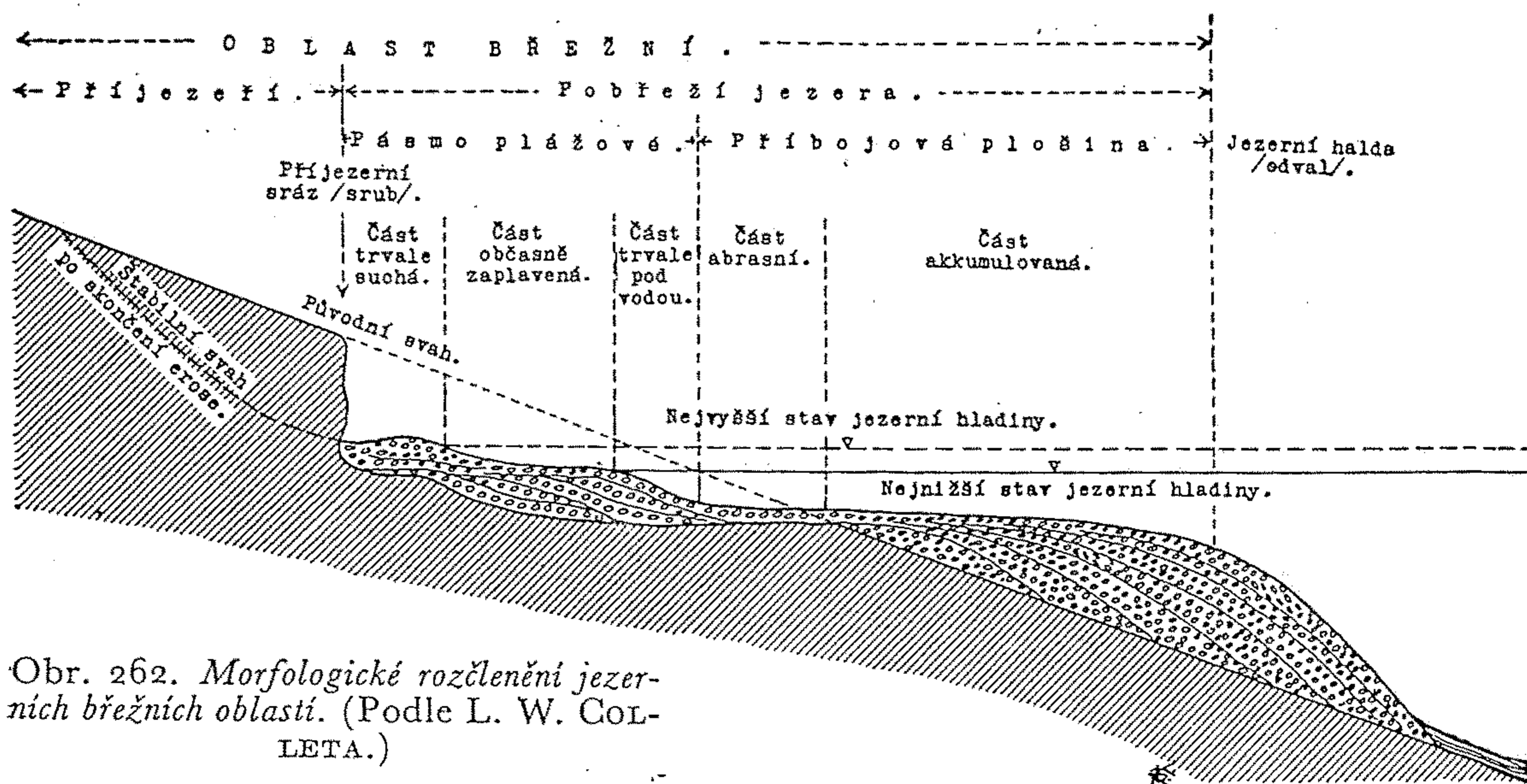




Obr. 264. Zanášení Wolfgangského jezera deltovými nánosy. Při dalším vzrůstu delty potoka Zinken Bachu a delty protilehlé bude Wolfgangské jezero rozděleno ve dvě menší samostatná jezera. Šikmé šrafy = skalní podklad; tlustě tečkované plochy = uložení glaciální (morény); tenče tečkované jsou znázorněny říční náplavy, jimiž se jezero zanáší. — Srv. i obr. 269.



Obr. 261. Morfologické rozčlenění jezerní pánve a základní názvosloví jednotlivých tvarových částí jezerního dna.



Obr. 262. Morfologické rozčlenění jezerních březních oblastí. (Podle L. W. COLLETA.)



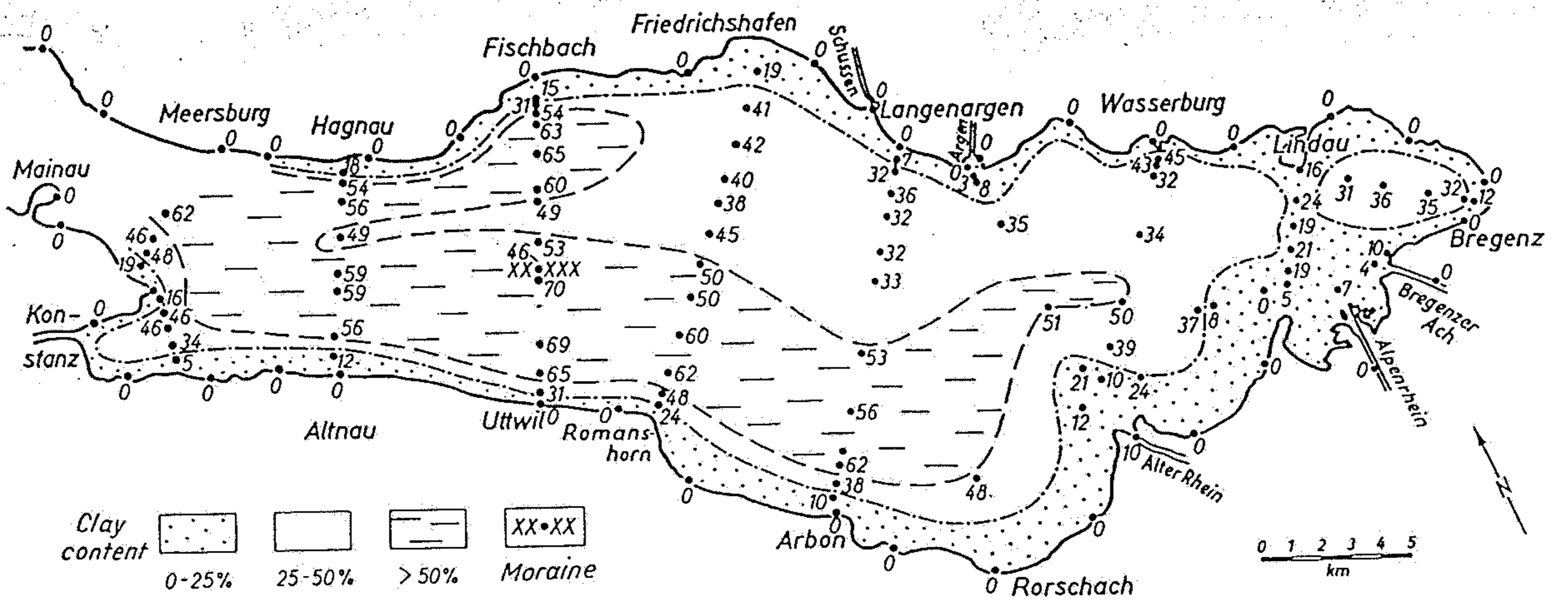


Fig. 351. Belt-like distribution of sediments in Lake Constance. (After Müller 1963)

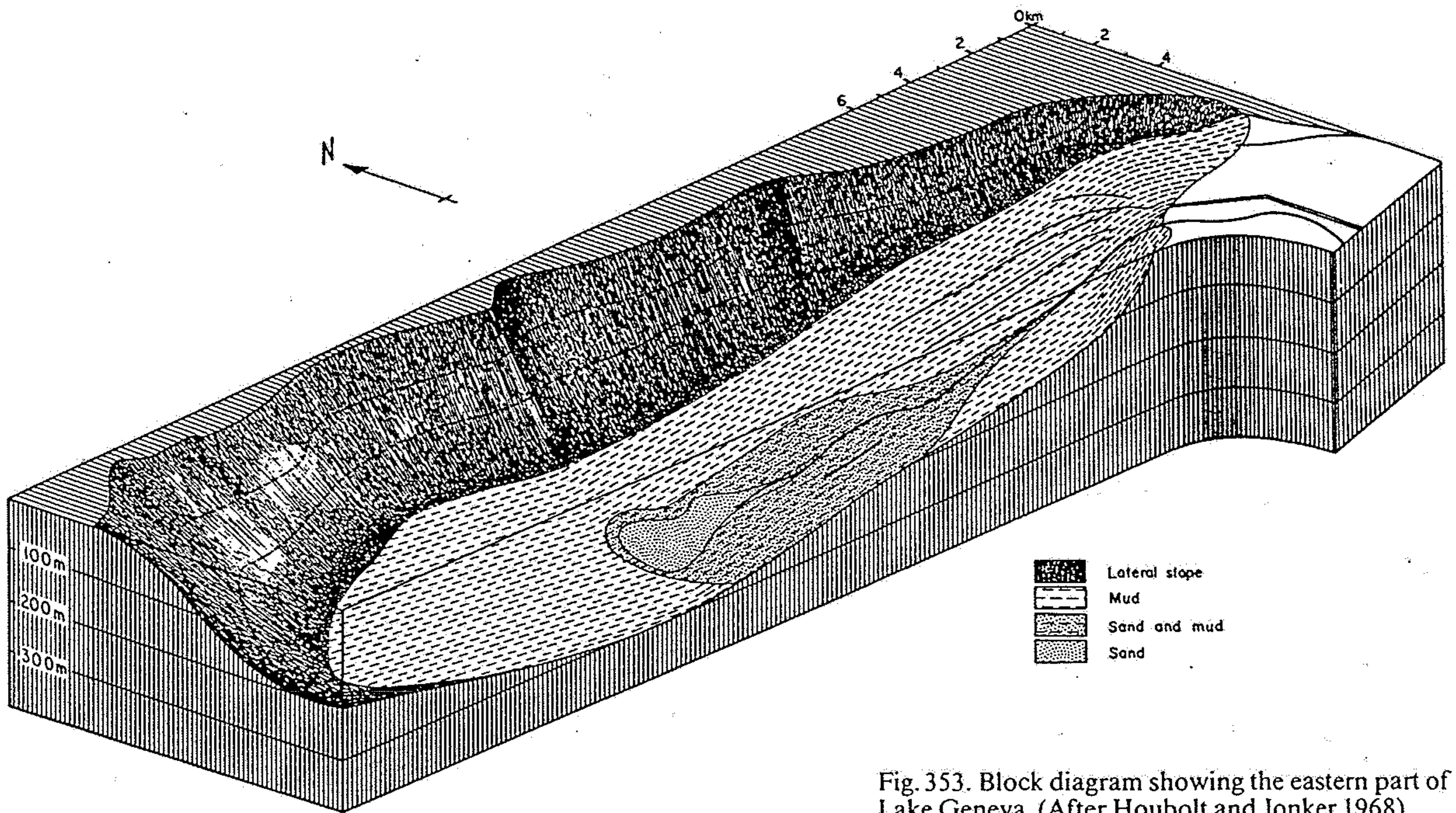


Fig. 353. Block diagram showing the eastern part of Lake Geneva. (After Houbolt and Jonker 1968)

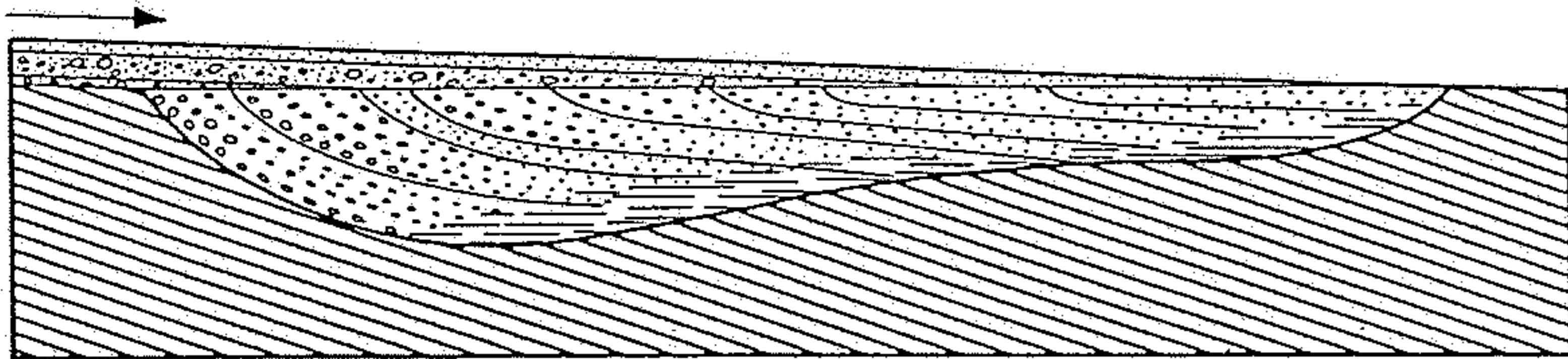


Fig. 352. Filling up of a lake by a delta. (Modified after Wagner 1950)

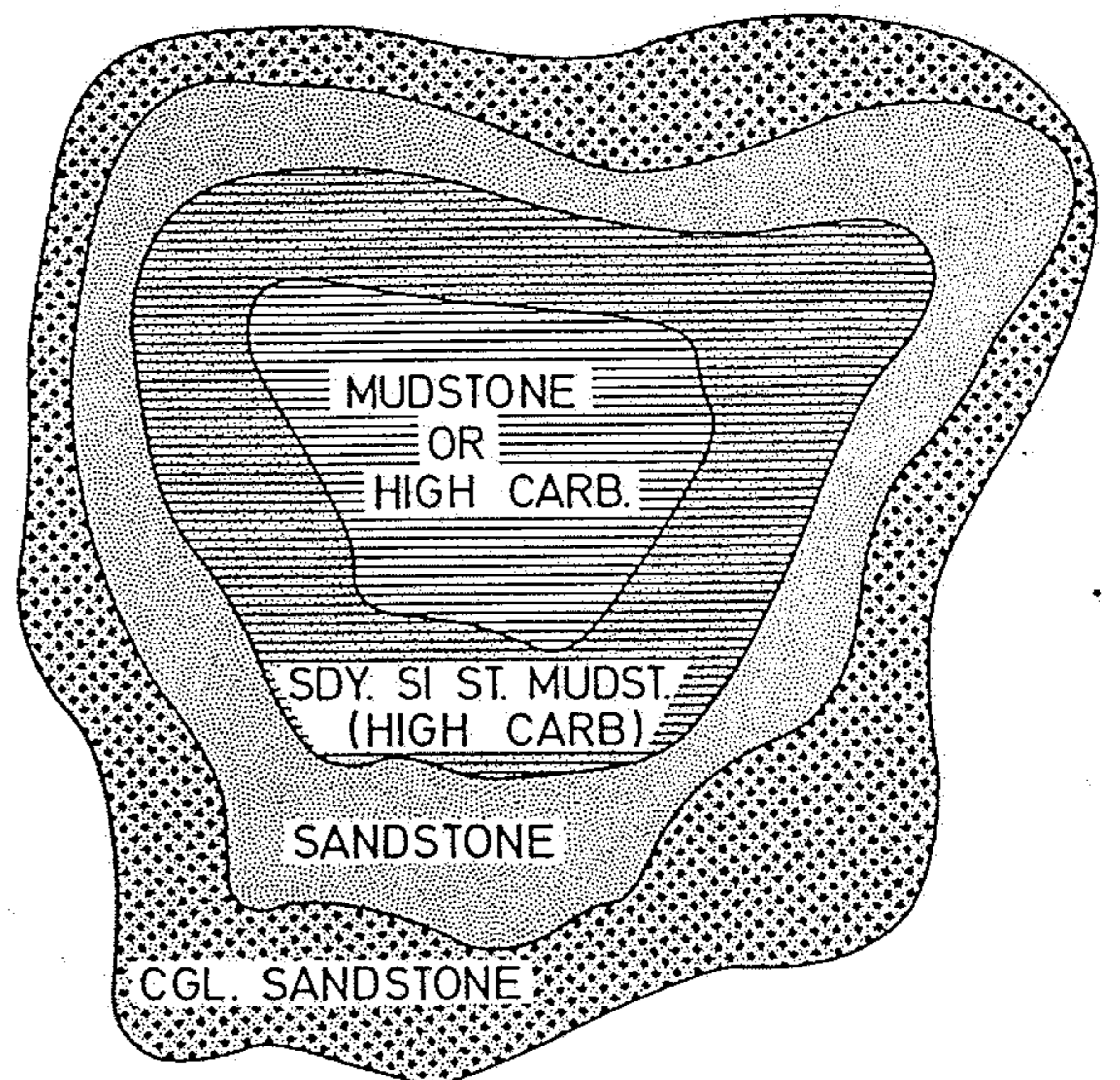
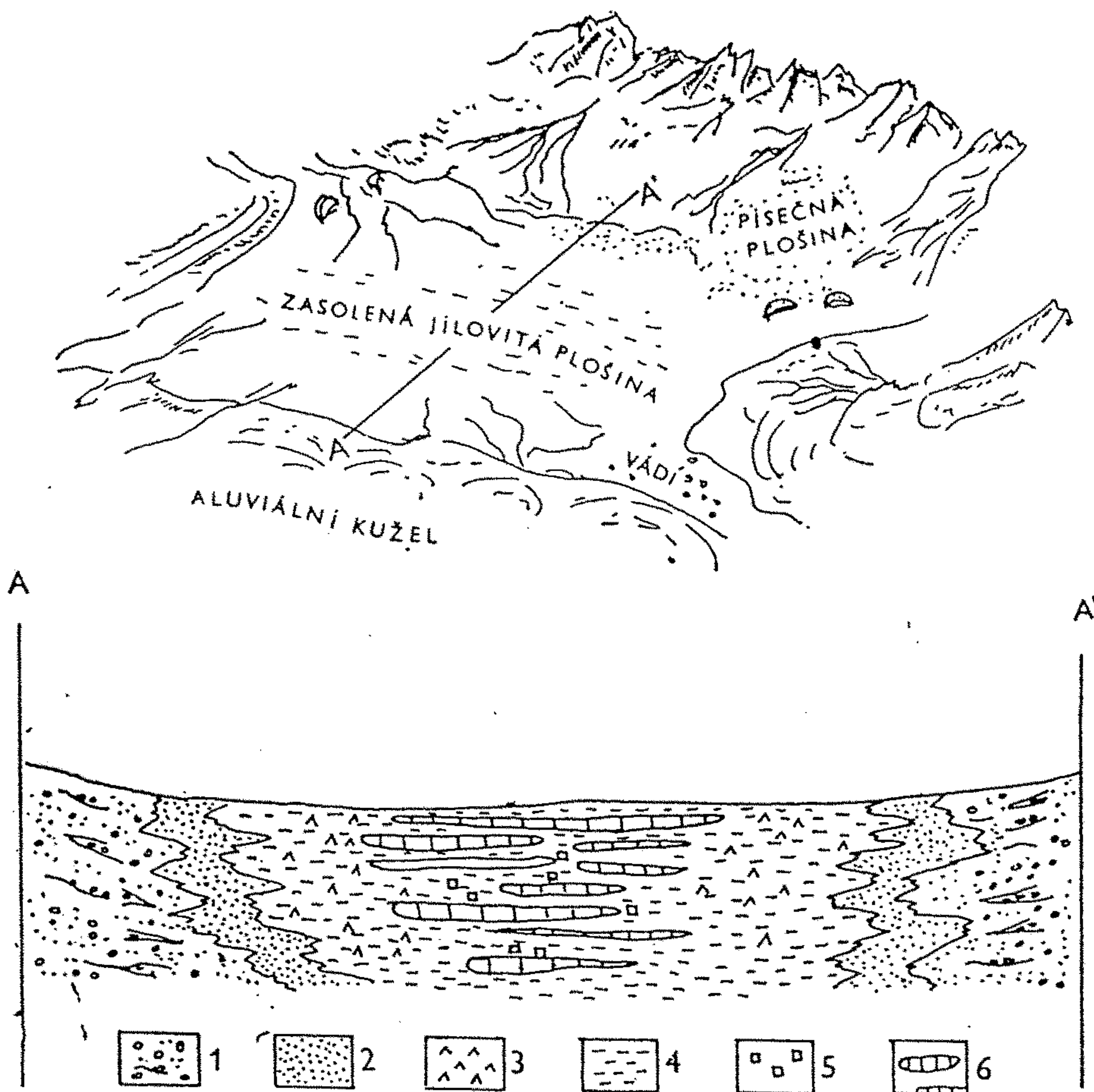


Fig. 350. Schematic distribution of sediments in a lake. (Compare with Fig. 351.) (Modified after Twenhofel 1932)





98. Schéma aridní mezihorské pánve s aluviálními kužely, pískovou plošinou a občasným jezerem. Dole je řez centrální části (mocnost cca 1 000 m). Sestaveno na podkladě suchého jezera Bristol v Kalifornii. 1 – štěrk, 2 – písky, 3 – sádrovce a anhydrity, 4 – jíly a prachy, 5 – krystaly halitu v jílech, 6 – vrstvy halitu v jílech. Handford (1981).

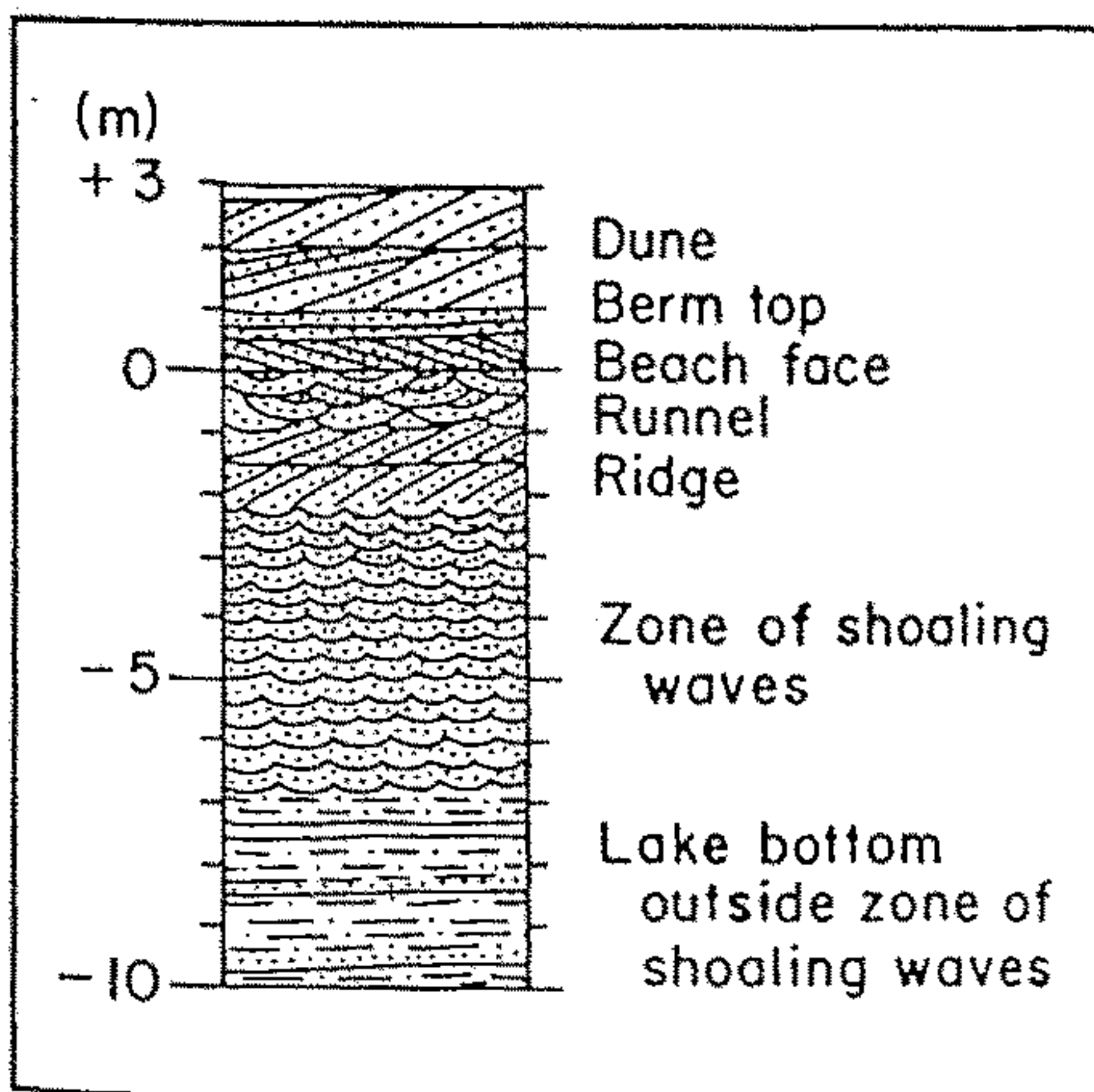
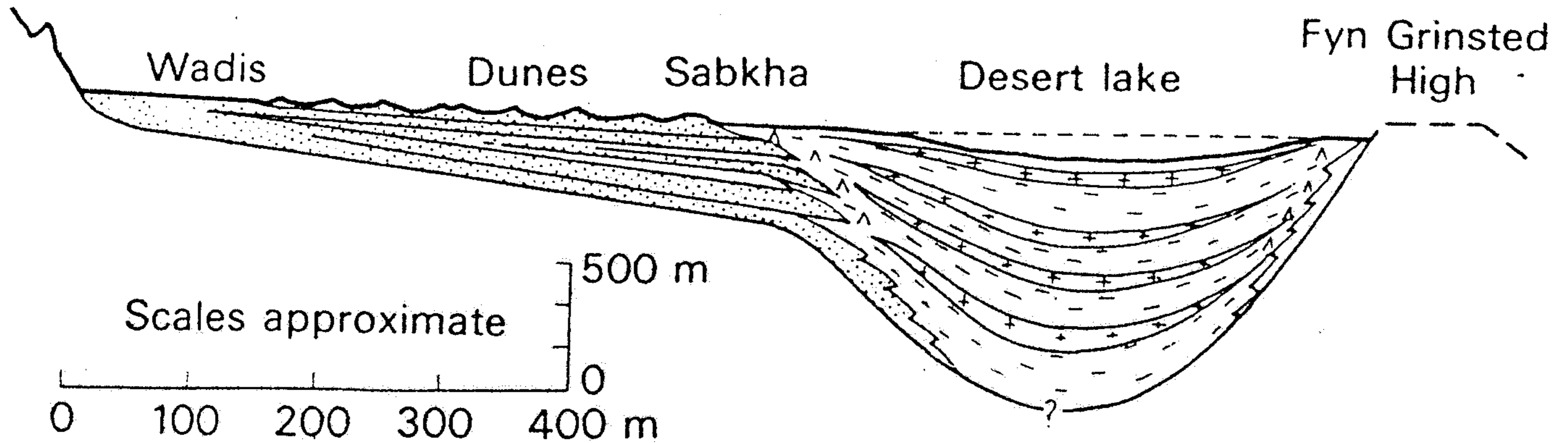


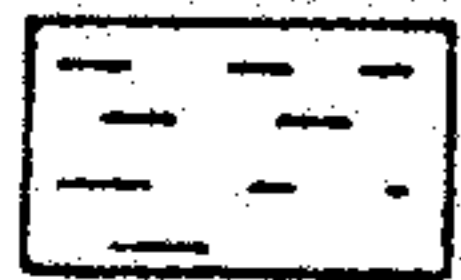
Figure 9-19 Schematic stratigraphic succession through strata formed by lakeward progradation of a beach and related sediments on shores of large lake. Succession begins at the base with silty clay deposited lakeward of zone of shoaling waves, and grades upward through ripple-marked sands of the zone of shoaling waves and through sediments of the various parts of a beach to dune sand at the top. Thickness from base of sand deposited in zone of shoaling waves to base of beach-face deposits, 7 m in this sketch, is a basis for inferring the time-averaged depth to the outer margin of the depth of shoaling waves. This depth, in turn, reflects the size of the lake and the size of the waves on its water surface. This profile is about as thick as lake beach and shoaling-wave-zone sediments ever become. The analogous deposits in most lakes would be thinner, possibly only 2 or 3 m, in most cases. (Authors.)



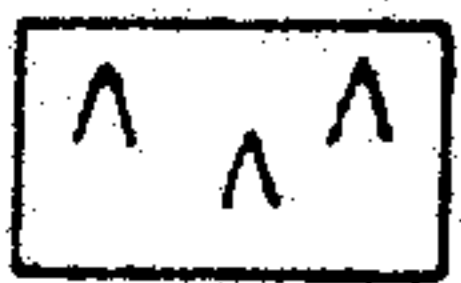
Variscan  
Highlands



Halite of the Haselgebirge facies



Clays of Ten Boer & Haselgebirge facies



Anhydrite of Ten Boer facies



Aeolian sandstones



Fluvial (wadi) conglomerates, sandstones, and shales

**Fig. 5.15.** The distribution of environments and facies in the Rötligendes basin of the southern North Sea prior to the Zechstein transgression (after Glennie, 1972).



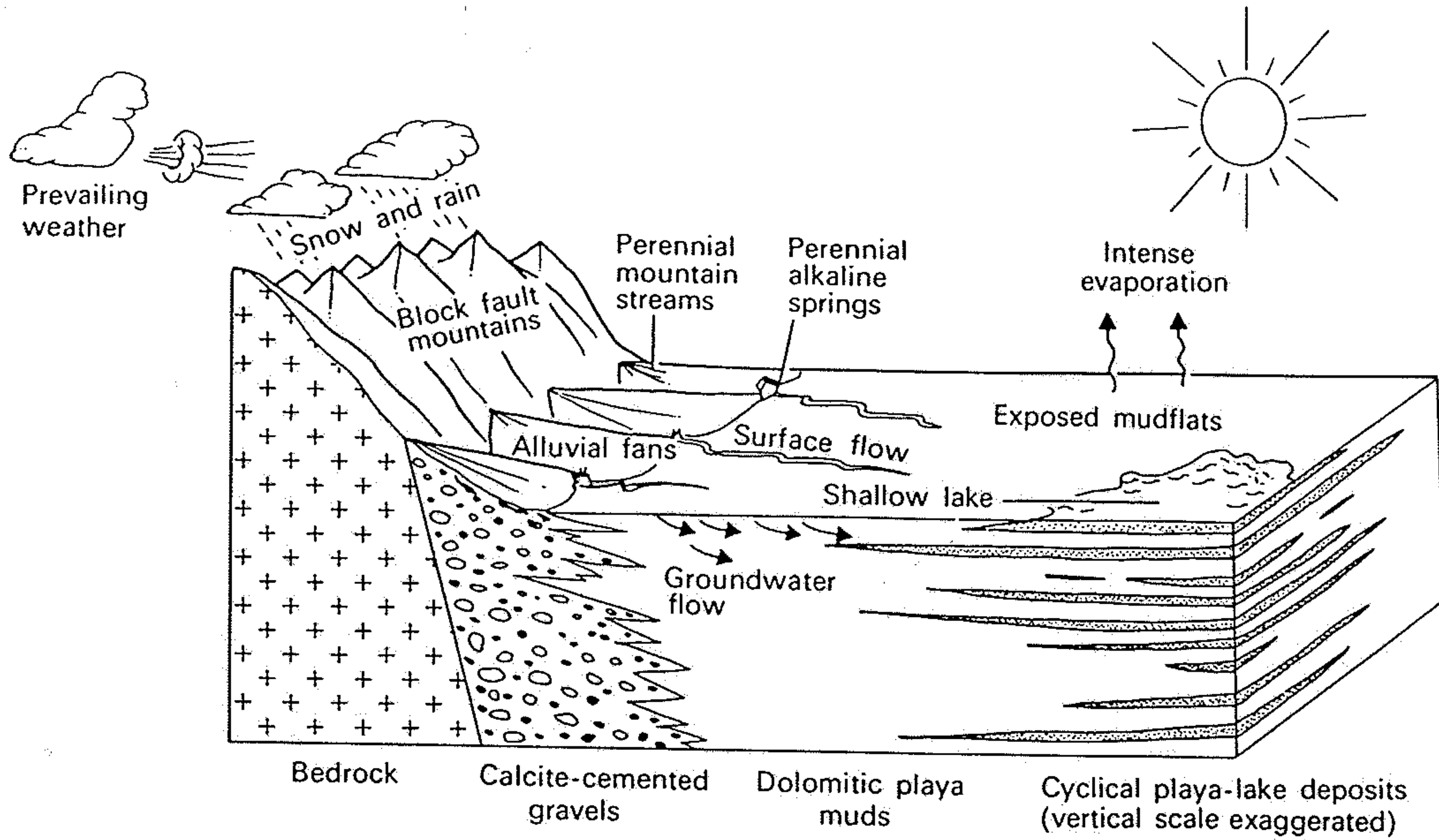
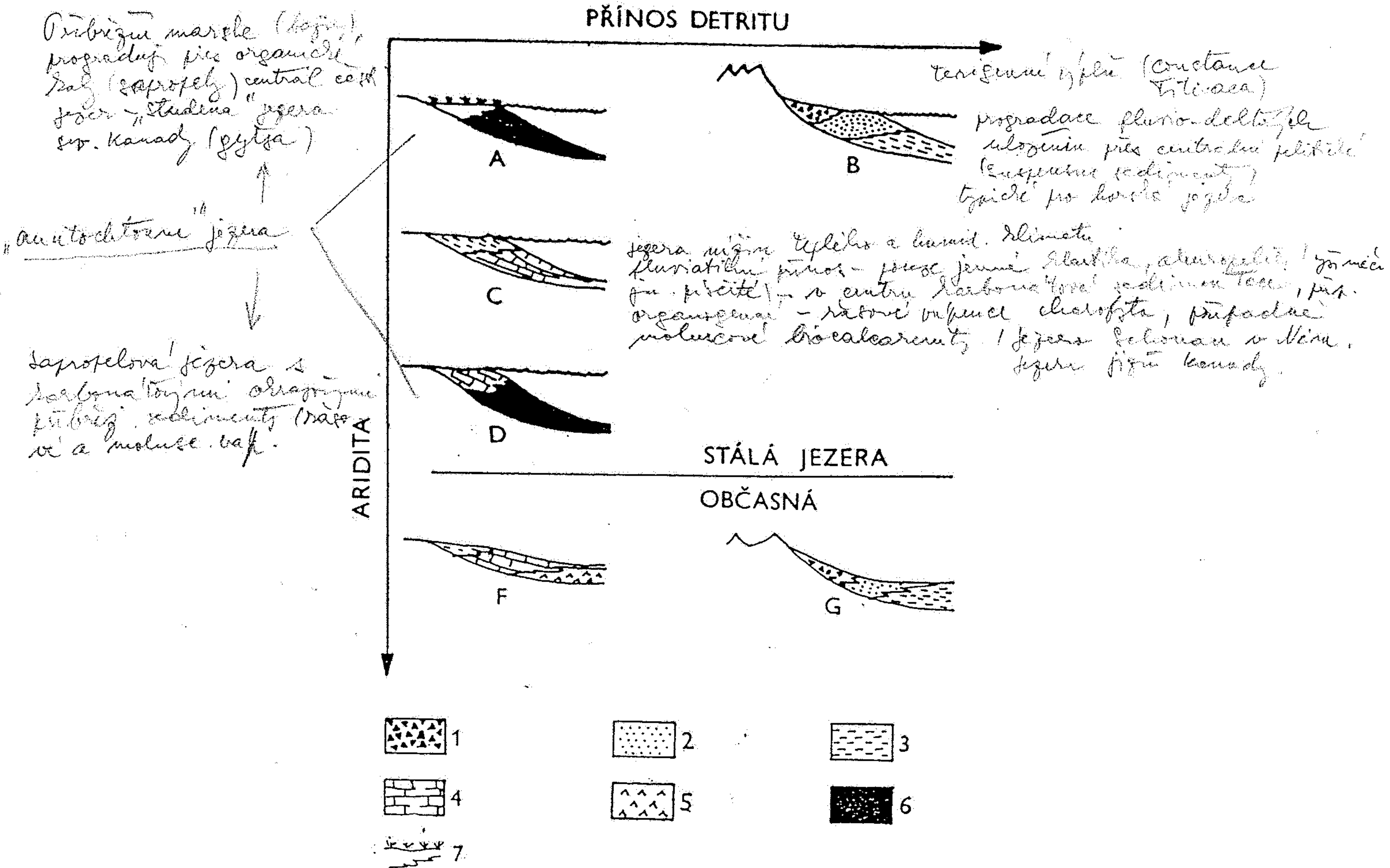
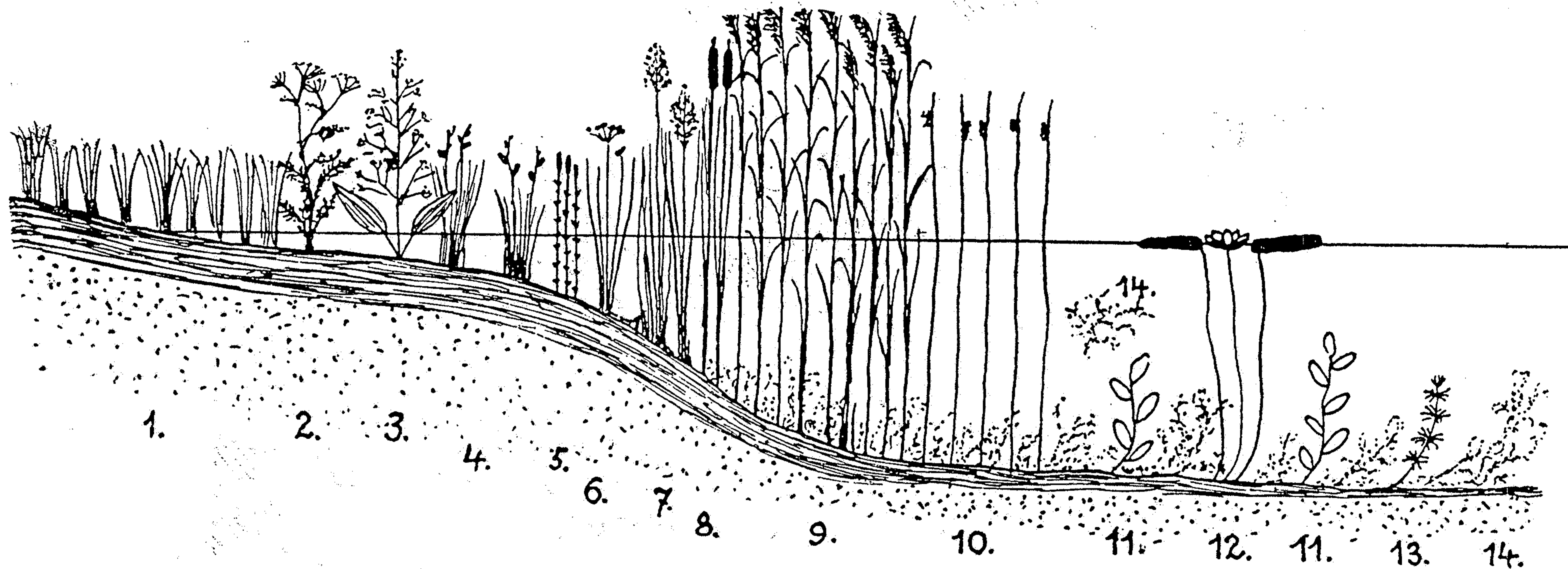


Fig. 4.7. Schematic block diagram showing general depositional framework envisaged for Wilkins Peak Member (after Eugster and Hardie, 1975).



93. Typy jezer klasifikované podle intenzity přínosu detritu a aridity: 1 – šěrky, 2 – písky, 3 – prachy, 4 – vápence, 5 – evapority, 6 – jíly, 7 – organické látky. Písmena označují jednotlivé typy jezer. U občasných jezer je typ F vnitropevninská sebcha, typ G aluviální kužel přecházející do playa. Kukul (1970) a Selley (1976).





Obr. 115. Vznik slatiny v Polabí a pořadí rostlin rostoucích na břehu vodních zátočin a přispívajících ke vzniku slatiny. 1. = *Schoenus* — šášina a j., 2. = *Roripa palustris* — rukev bahenní, 3. = *Alisma plantago* — žabník jitrocelový, 4. = *Carex* — ostrice, 5. = *Equisetum* — přeslička, 6. = *Butomus umbellatus* — šmel okoličnatý, 7. = *Glyceria spectabilis* — zblochan vodní, 8. = *Typha* — orobinec, 9. = *Phragmites communis* — rákos obecný, 10. = *Scirpus* — skřípina, 11. = *Potamogeton* — rdest, 12. = *Nymphaea candida* — leknín bělostný, 13. = *Chara* — parožnatka, 14. = *Hypnum* (*Drepanocladus*) — rokýt. (Schematický obrázek sestavil a kreslil prof. Dr. KAREL KAVINA.)



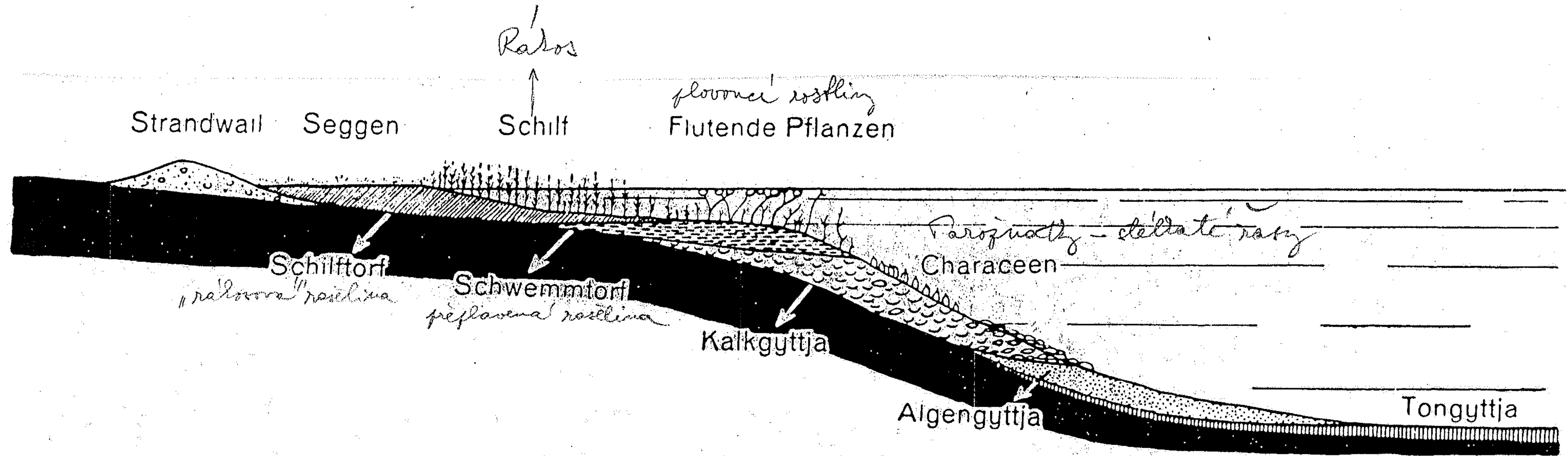
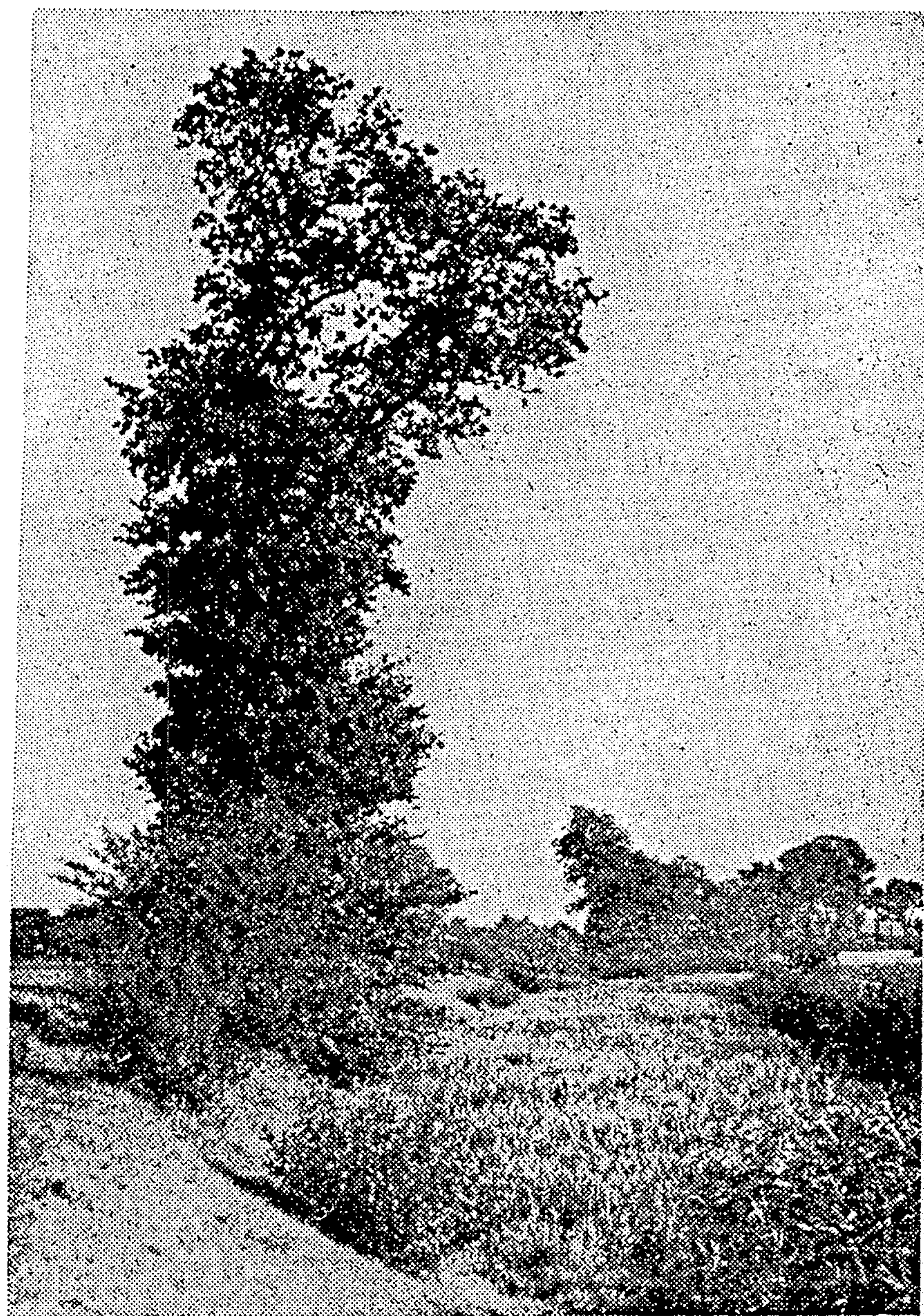


Abb. 41 Vegetations- und Sedimentzonen in einem Süßwassersee der gemäßigten Breiten





Obr. 112. Zarůstající mrtvé rameno Labe u Staré Boleslavě. (Foto Dr V. JIRÁSEK.)



Obr. 113. Zarostlé mrtvé rameno Labe u Staré Boleslavě. (Foto Dr V. JIRÁSEK.)



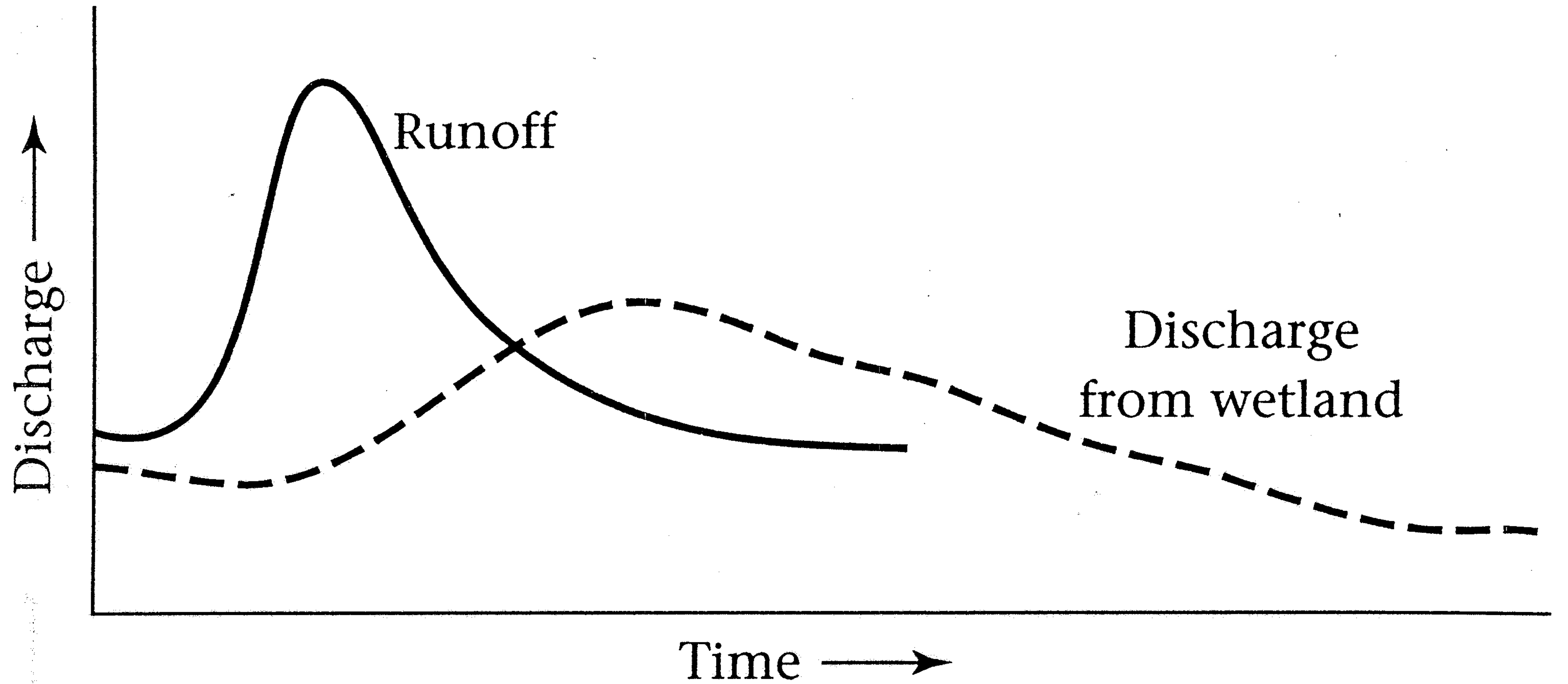


. 118. *Mrtvé rameno Labe u Staré Boleslavě zarůstající vodními a močálovými rostlinami.*  
(Foto Dr VÁCLAV JIRÁSEK.)



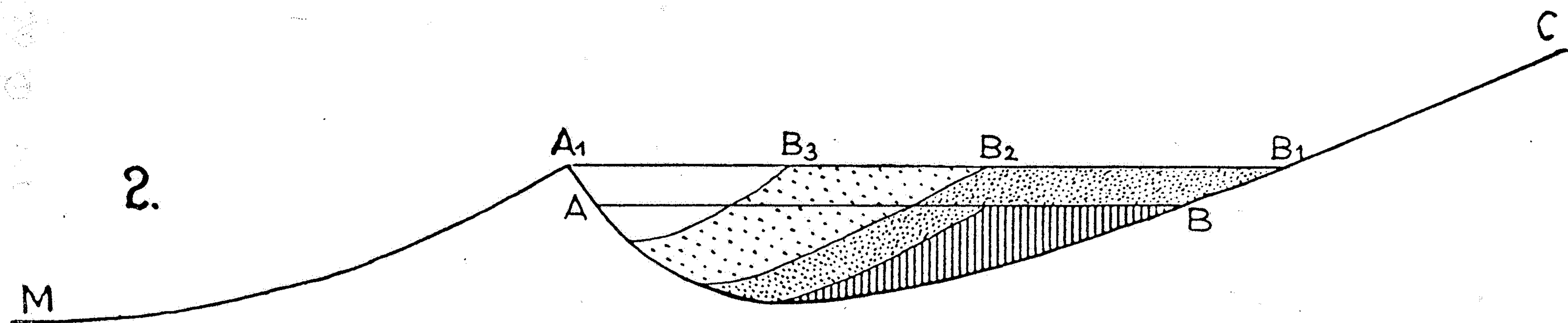
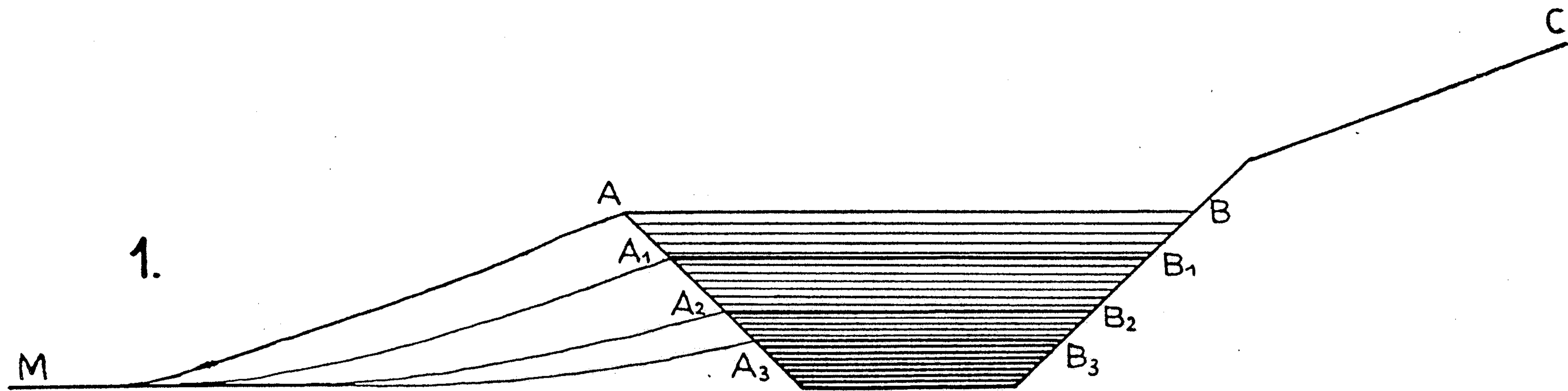
Obr. 120. *Taxodiový prales (Taxodium distichum) v bažinách severozáp. Floridy (USA).* (Z KARSTEN-SCHENCKOVÝCH Vegetationsbilder; foto J. C. Th. UPHOF, Orlando, Florida.)





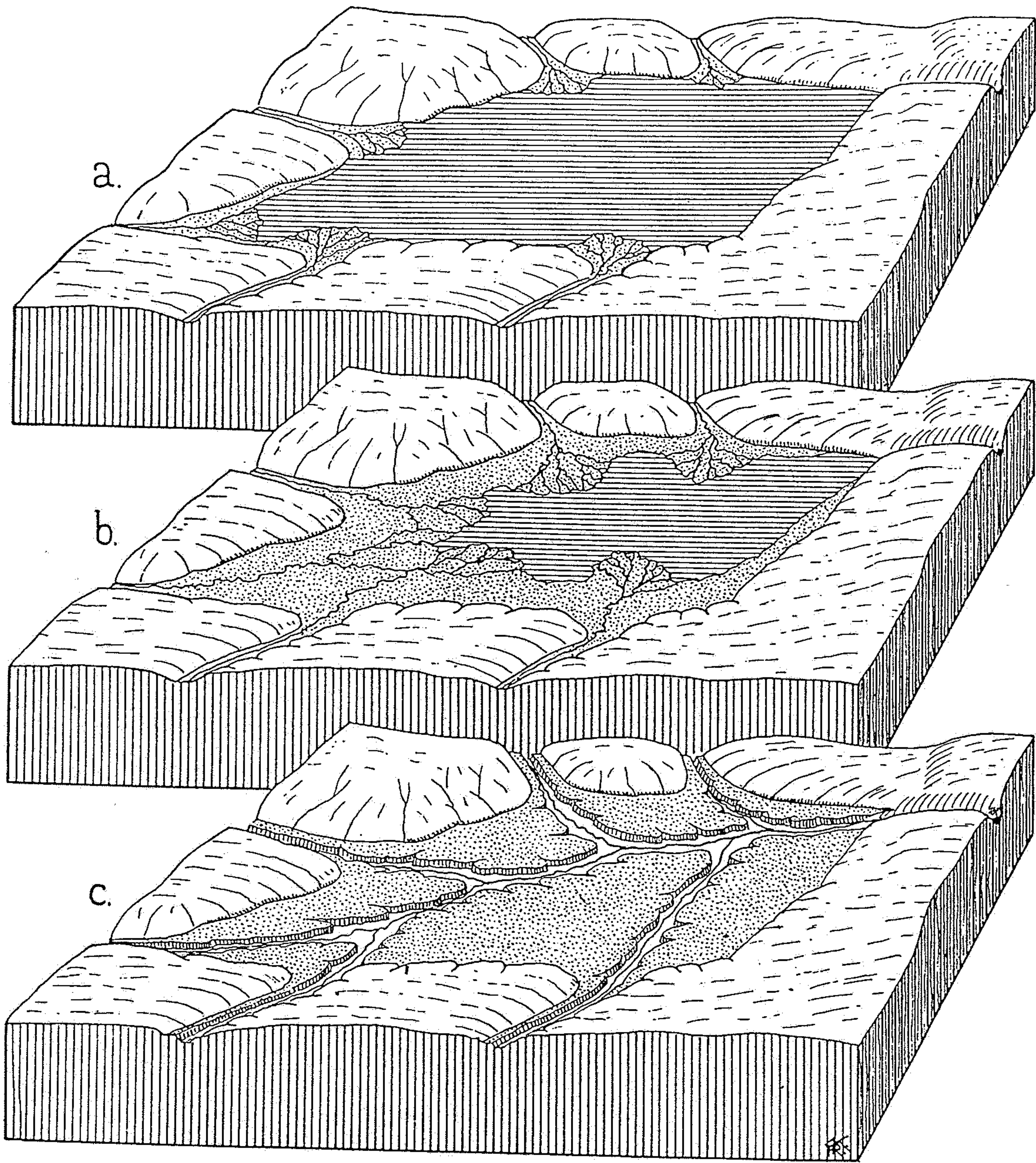
**Figure 9.16.** Diagrammatic illustration of the mediation of storm flow by a wetland.



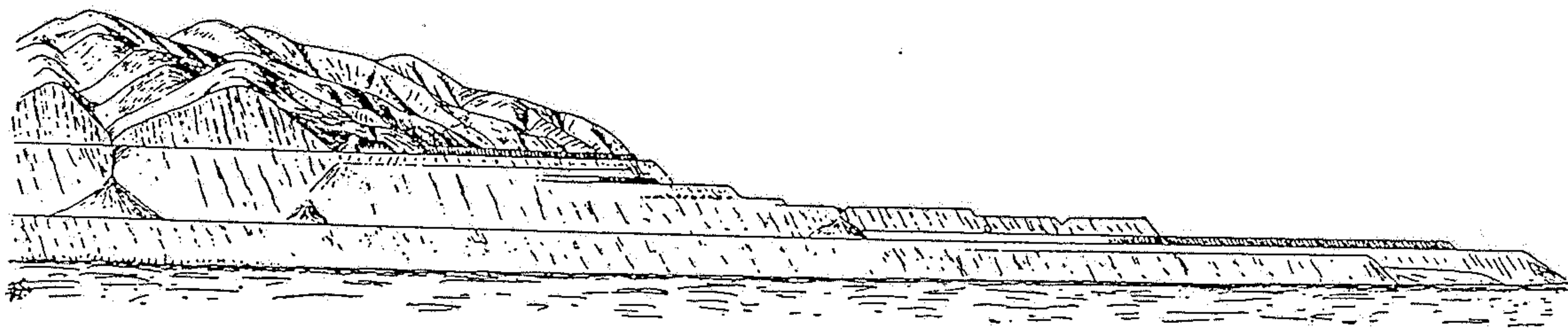


Obr. 267. Schematické znázornění dvou způsobů geologického zániku jezer. 1. Zánik jezera způsobený erosi. M = hladina moře jako spodní erosivní základna; MA, MA<sub>1</sub>, MA<sub>2</sub>, MA<sub>3</sub> = postupné podélné profily (spádové křivky) toku odvodňujícího jezero; AB, A<sub>1</sub>B<sub>1</sub>, A<sub>2</sub>B<sub>2</sub>, A<sub>3</sub>B<sub>3</sub> = tomu odpovídající úrovně postupně klesající jezerní hladiny. 2. Zánik jezera způsobený zanášením. AB = původní hladina jezera před zanášením; BC = přítok ukládající nánosy v jezeře; A<sub>1</sub>B<sub>1</sub> = hladina jezera, zvýšená zanášením jezerní pánve; A<sub>1</sub>M = odtok z jezera; CB<sub>1</sub>, CB<sub>2</sub>, CB<sub>3</sub> = přítok postupně zanášející jezero; A<sub>1</sub>B<sub>1</sub>, A<sub>1</sub>B<sub>2</sub>, A<sub>1</sub>B<sub>3</sub> = jezerní hladina postupně se zmenšující zanášením jezerní pánve. (Podle EM. DE MARTONNA.)



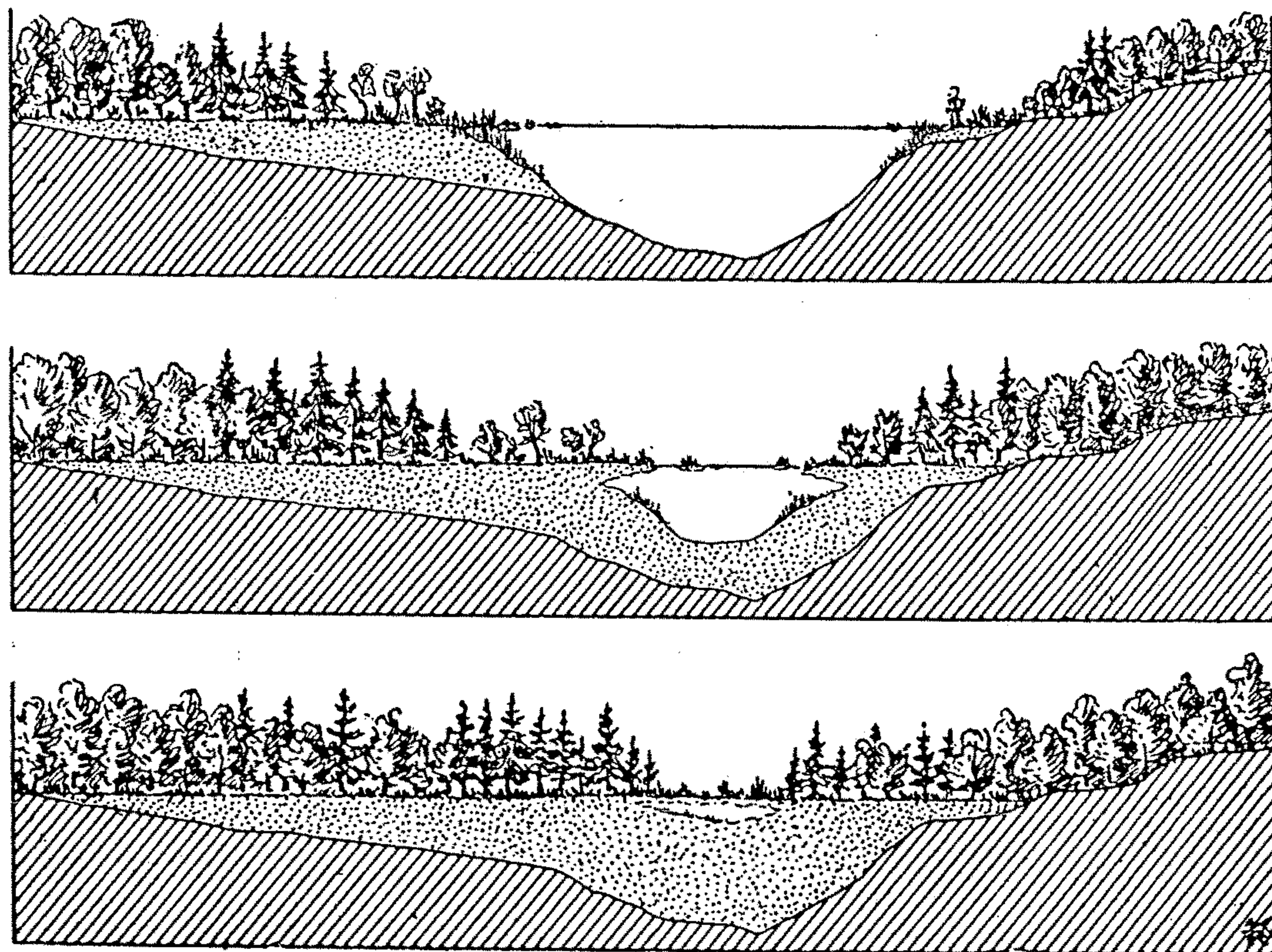


Obr. 268. Zanikání jezera. a = Původní jezero s přítoky a s odtokem v pravém zadním rohu blokdiagramu. b = Postupné vzrůstání delt a zanášení jezera. c = Jezerní pánev vyplněná nánosy tvoří alluviální planinu, do níž se zařizly původní přítoky jezera; tyto přítoky stávají se tak pobočkami původního odtoku jezera v pravém zadním rohu blokdiagramu. (Podle R. F. FLINTA.)

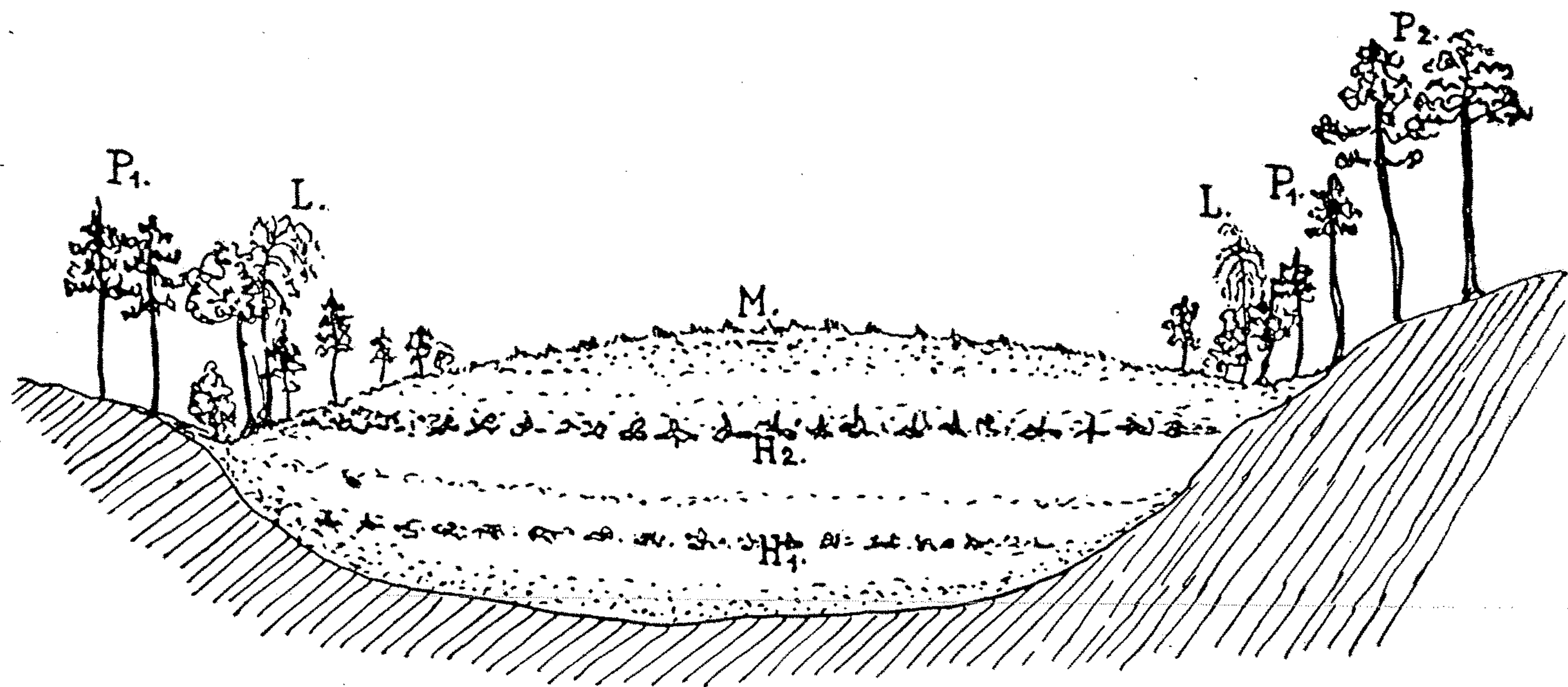


Obr. 266. Pobřežní terasy někdejšího Bonnevilleského jezera v Utahu (USA), ukazující průběh starých pobřežních čar. (Podle G. K. GILBERTA.)





Obr. 116. Diagram znázorňující postupné vyplňování jezera rašelinou. (Podle DACHNOWSKIHO učebnice geologie W. H. EMMONSE, G. A. THIELA, C. R. STAUFFERA a J. S. ALLISONA.)



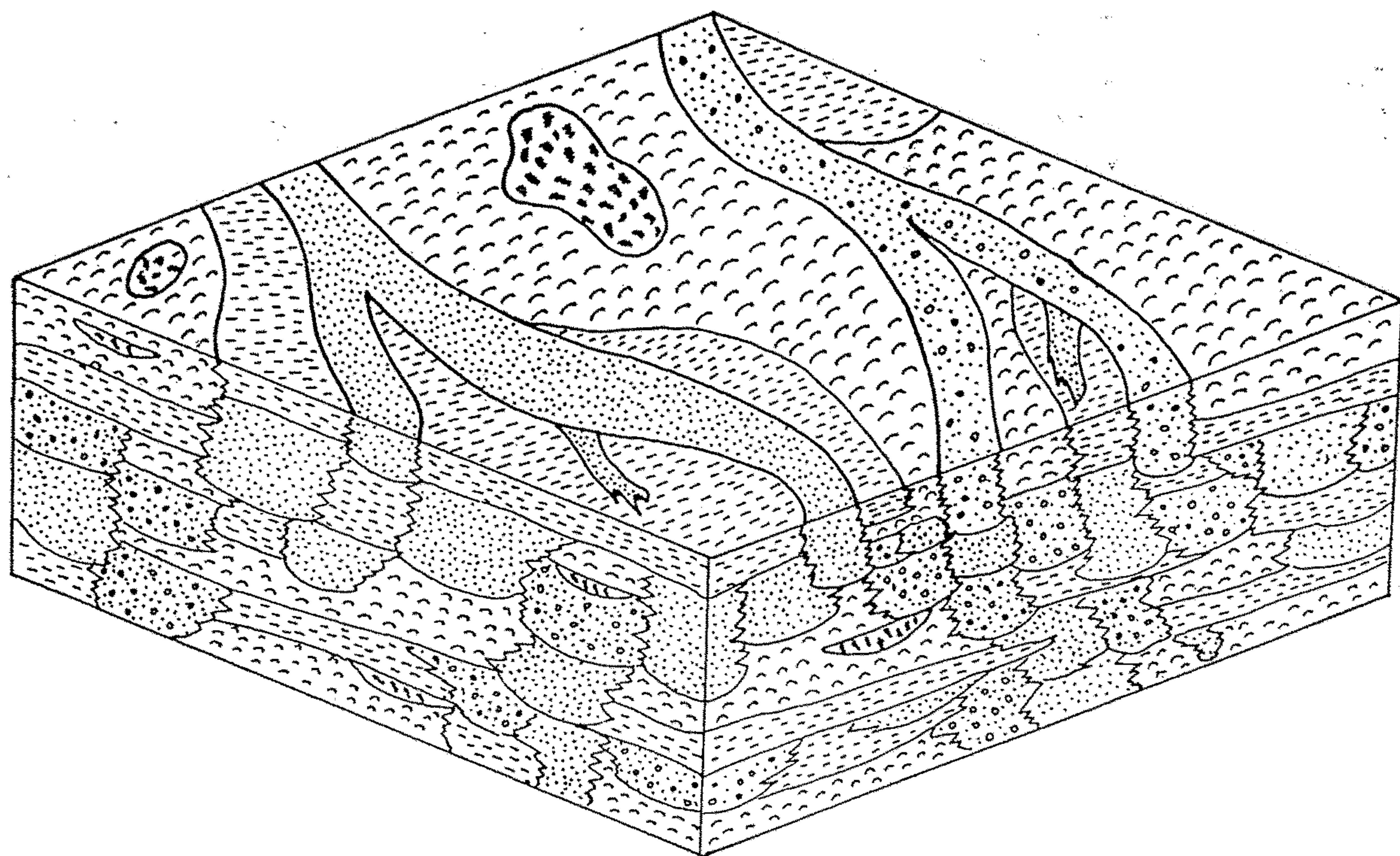
Obr. 117. Průřez jihocheským vrchovištěm.  $H_1$ ,  $H_2$  = hraniční horizonty odpovídající obdobím sucha,  $M.$  = mechové vrchoviště (*Sphagnum*),  $L.$  = lesní vrchoviště,  $P_1$  = *Pinus uliginosa* — borovice bažinná,  $P_2$  = *Pinus silvestris* var. *bohemica* — borovice třeboňská. (Obrázek sestavil a kreslil prof. Dr. KAREL KAVINA.)



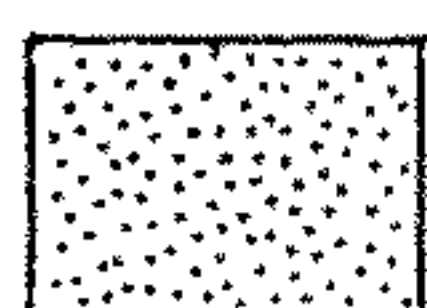
Tabulka 48

Doba existence některých fosilních jezer a jejich předpokládaná rozloha (Picard a High 1972, doplněno dalšími údaji)

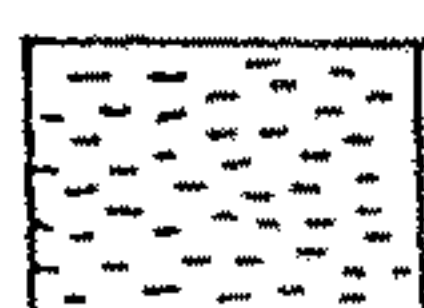
Stratigrafická jednotka, jezero	Oblast	Stáří	Rozloha km <sup>2</sup>	Doba trvání (mil. let)
jezero Bonneville	USA	pleistocén	50 000	1,0
jezero Searles	USA, Kalifornie	pleistocén	1 000	0,17
jezero Uinta (formace Green River)	USA	eocén	20 000	14,0
jezero San Augustin	USA	pleistocén	20 000	0,65
formace Popo Agie	USA	jura	150 000	3,0
formace Lockatong	USA	trias	7 000	5,1
mšecké vrstvy	Český masív	stefan B	10 000	0,04
jezera podkrušnohorských pánví	Český masív	oligocén-miocén	3 000	5,0
				(podle jiných údajů cca 1,0)



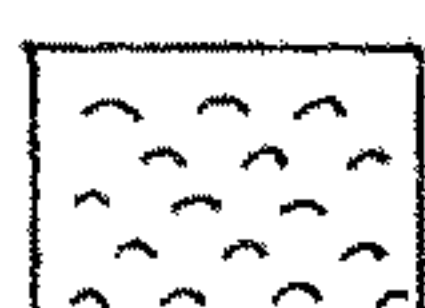
1



2



3



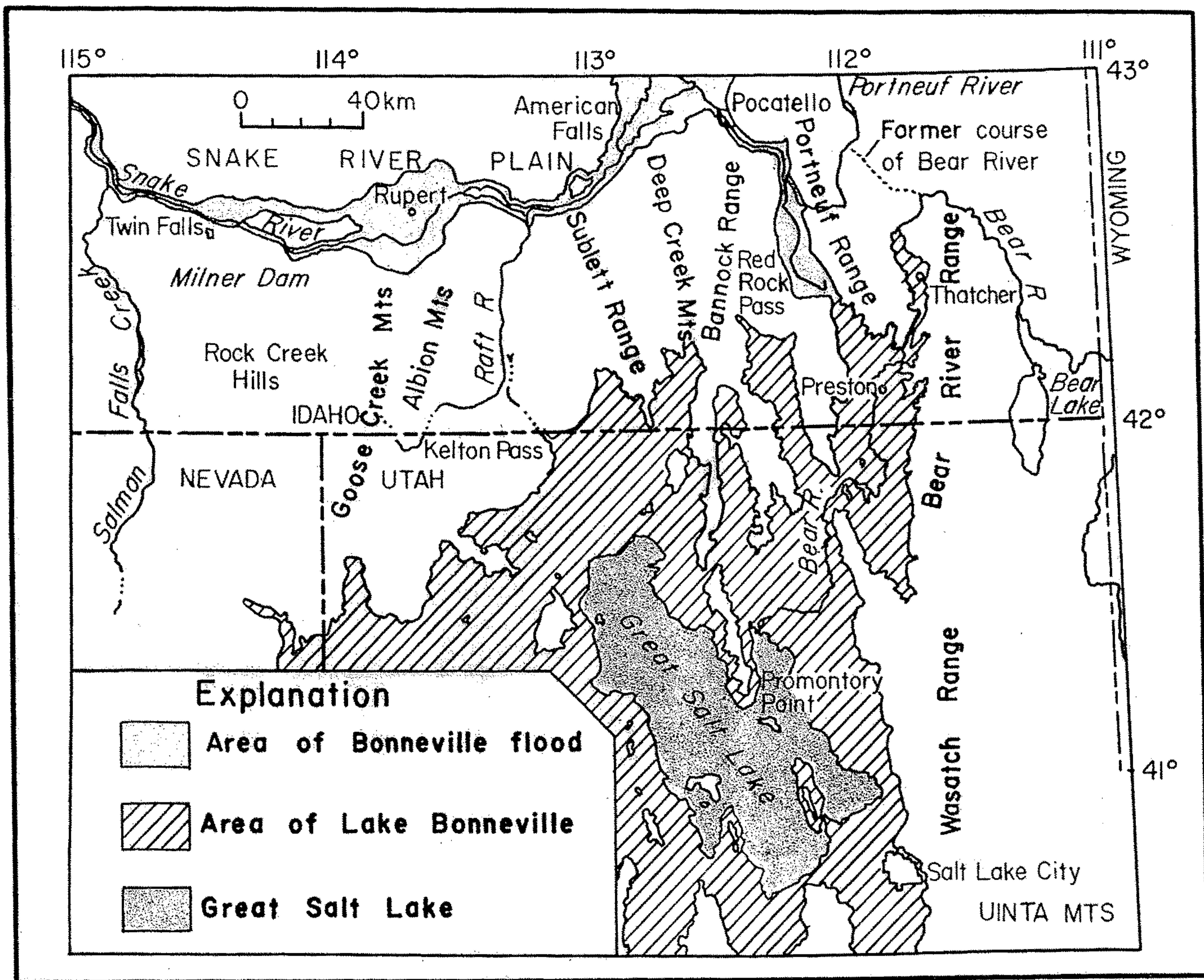
4



5

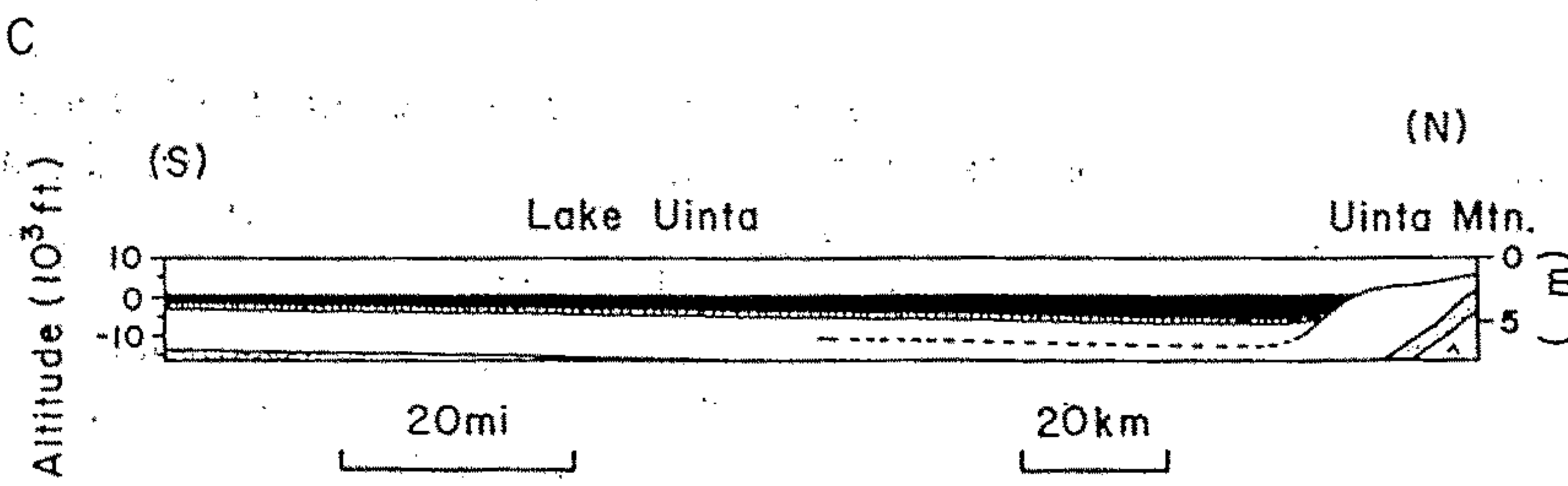
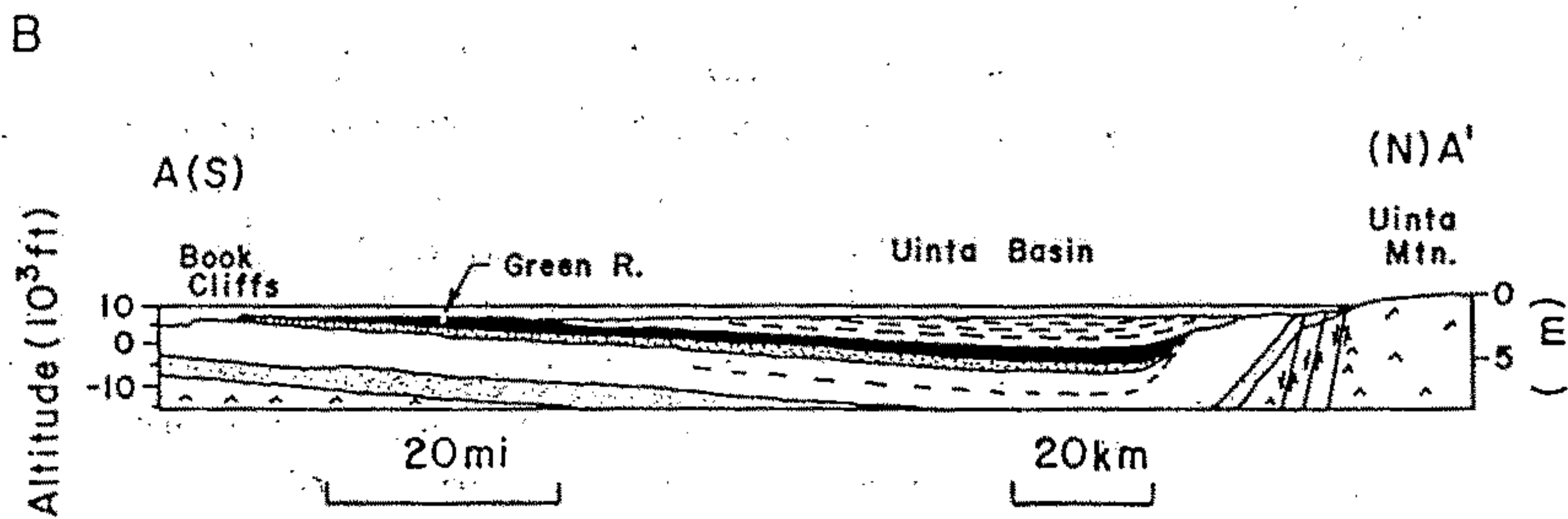
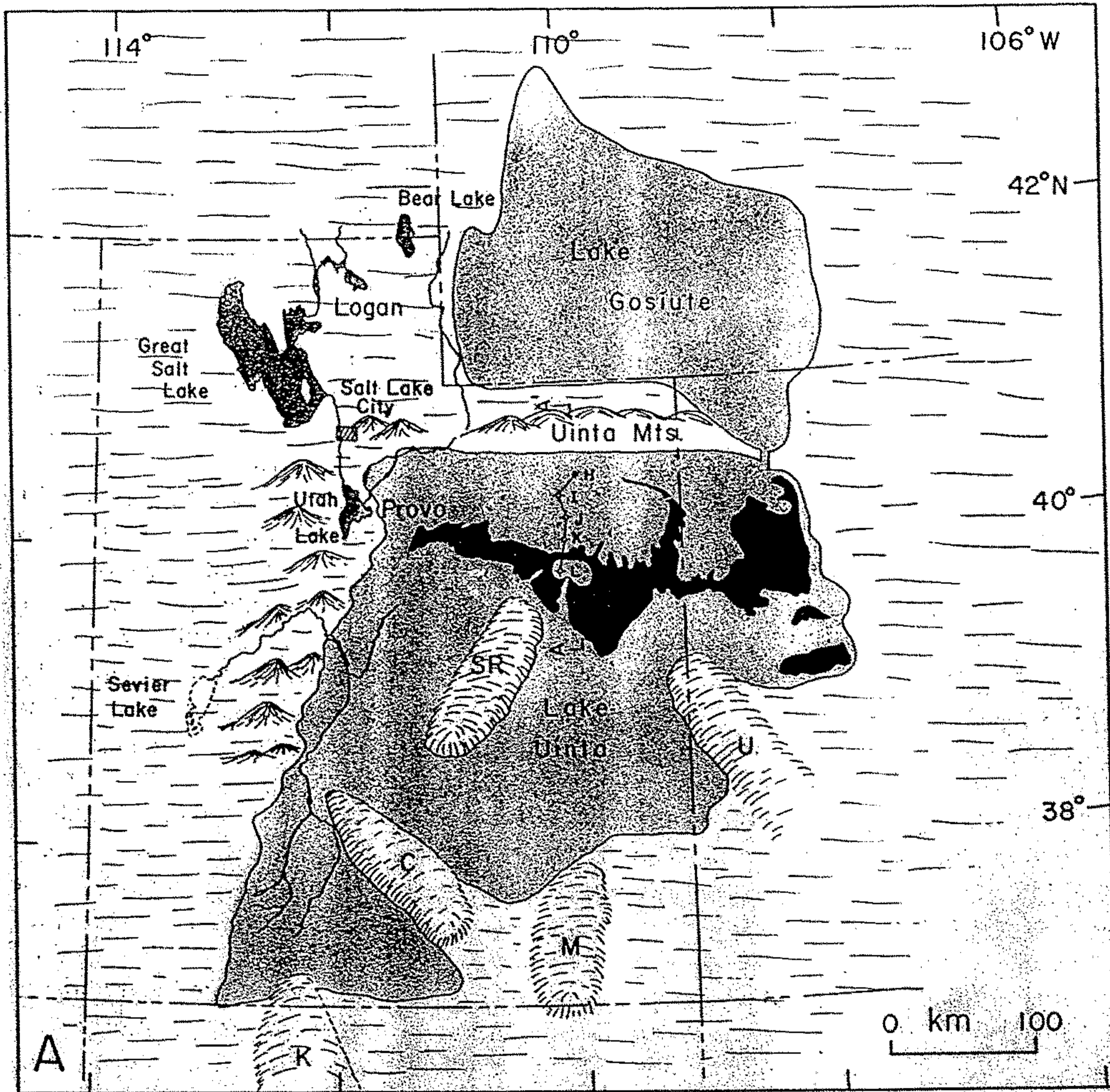
99. Prostorová rekonstrukce prostředí ve svrchní části pestrého pískovce (spodní trias) v Eifelu. Mocnost cca 500 m, nepřevýšeno. 1 – říční štěrkové valy, 2 – říční pískové valy, 3 – říční niva, jílová až písková, 4 – eolické písky, 5 – jezerní jíly a rašelina. Podle Madera (1981).





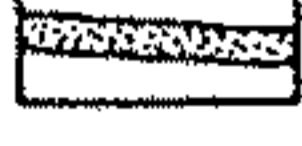
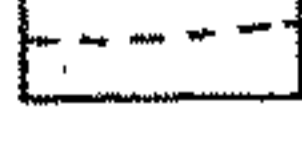




**Figure 9-4** Pleistocene Lake Bonneville and its drainage route to the north via Red Rock Pass and into the Snake River, (and from there to the Pacific Ocean via the Columbia River), northern Utah and Nevada and southern Idaho (index map on Fig. 8-50, A.) About 18,000 years ago, changes in drainage caused the lake level to be lowered by about 30 m, to the level of the Bonneville shoreline, which was controlled by a natural bedrock dam at Red Rock Pass (altitude 1550 m, 5085 ft). An estimated 1583 km<sup>3</sup> of water drained from the lake at a rate that has been inferred to have ranged between 424,800 and 50,976 m<sup>3</sup>/sec. At the higher rate, the flow would have lasted for 6 weeks; at the lower rate, 1 year. The amount of water involved equals about half the yearly discharge of the world's largest river, the Amazon. (See Table 10-1.) The inferred upper rate of discharge is slightly more than twice the maximum rate of the Amazon's discharge (203,000 m<sup>3</sup>/sec). (After H. E. Malde, 1968, Fig. 1, p. 3.)

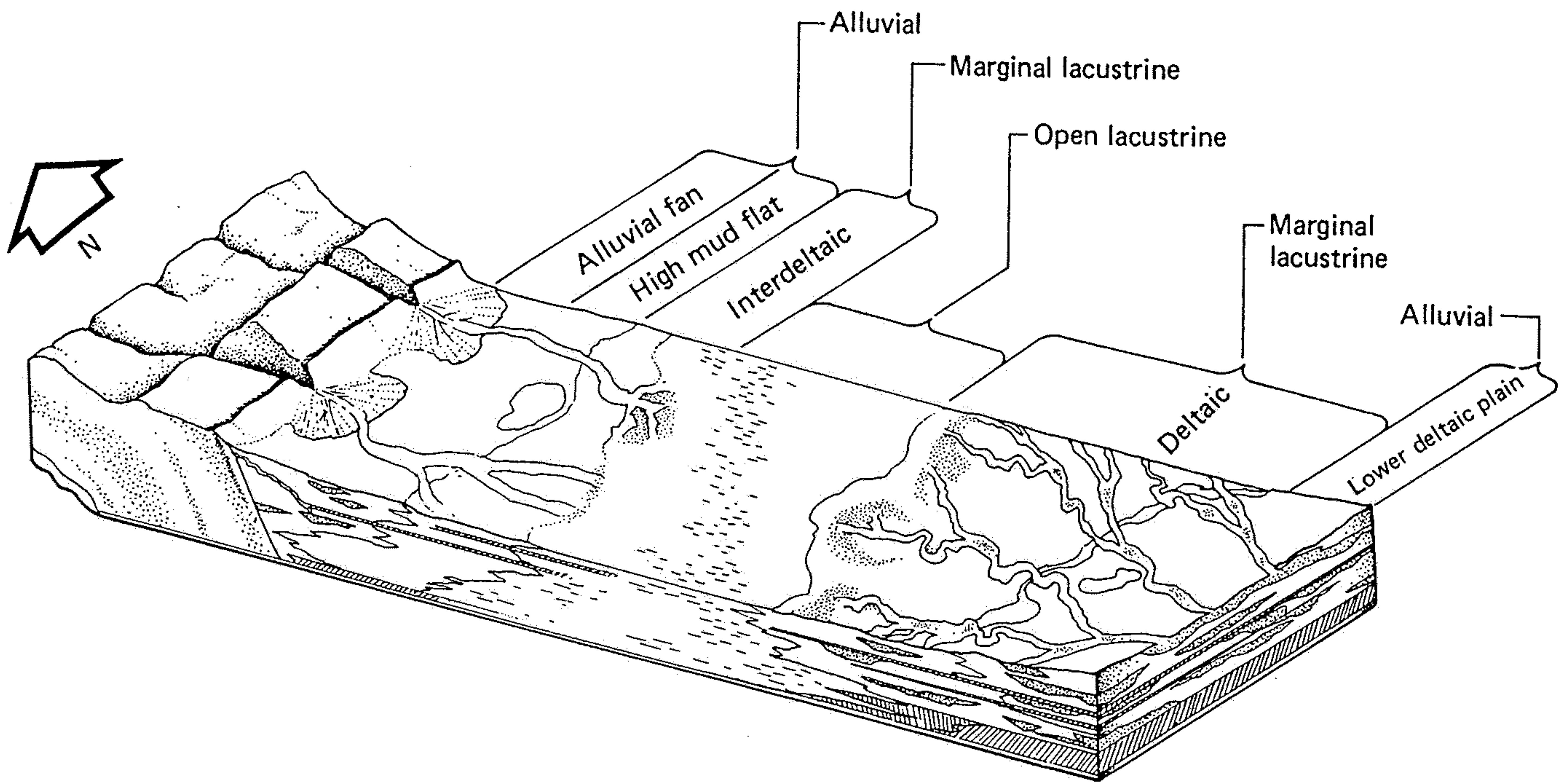




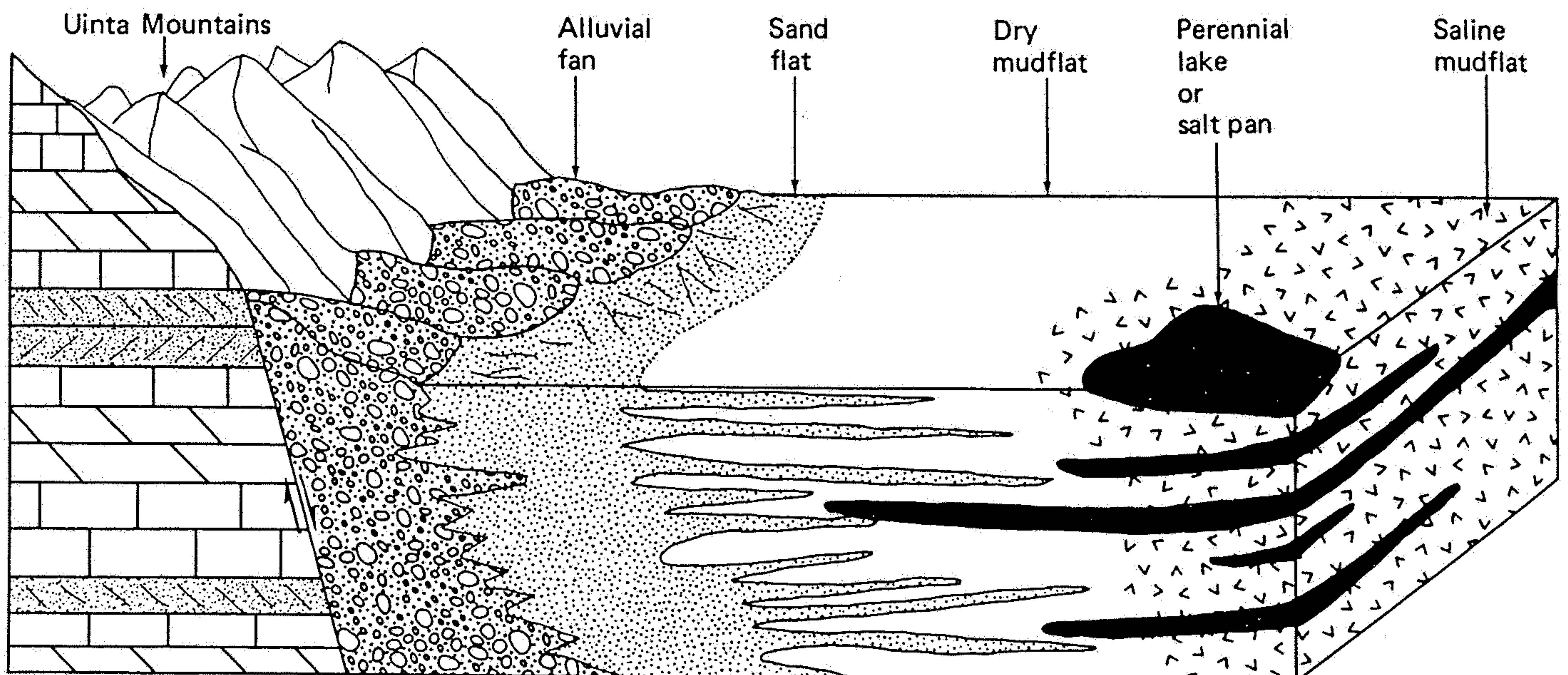
**EXPLANATION**

-  Tertiary overlying Green River Fm.
-  Green River Fm. (Eocene)
-  Wasatch Fm. (Paleocene)
-  Mesozoic (---top of Mancos Gr.)
-  Paleozoic
-  Precambrian





**Figure 5-16** Depositional model for lacustrine and related environments of the Uinta Basin during Green River time. (After Ryder et al., 1976, Figure 6, p. 503.)



**Figure 6-20** Reconstruction of desert sedimentary environments in which the Wilkins Peak Member of the Green River Formation accumulated. (From Smoot, 1978, Figure 2, p. 113.)



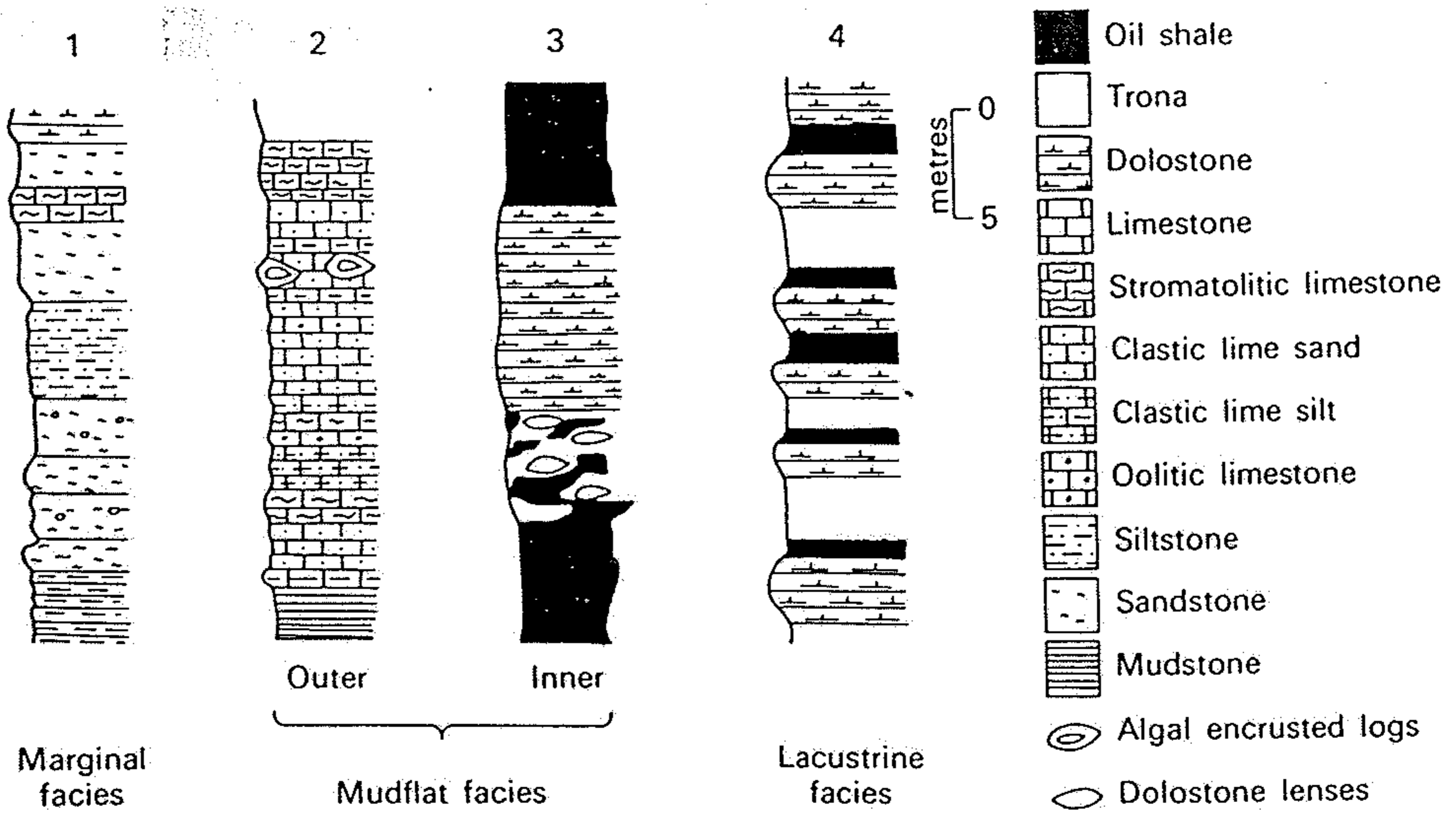


Fig. 4.8. Schematic sections for lithofacies of marginal, mudflat and lacustrine environments of the Green River Formation (after Surdam and Wolfbauer, 1975).

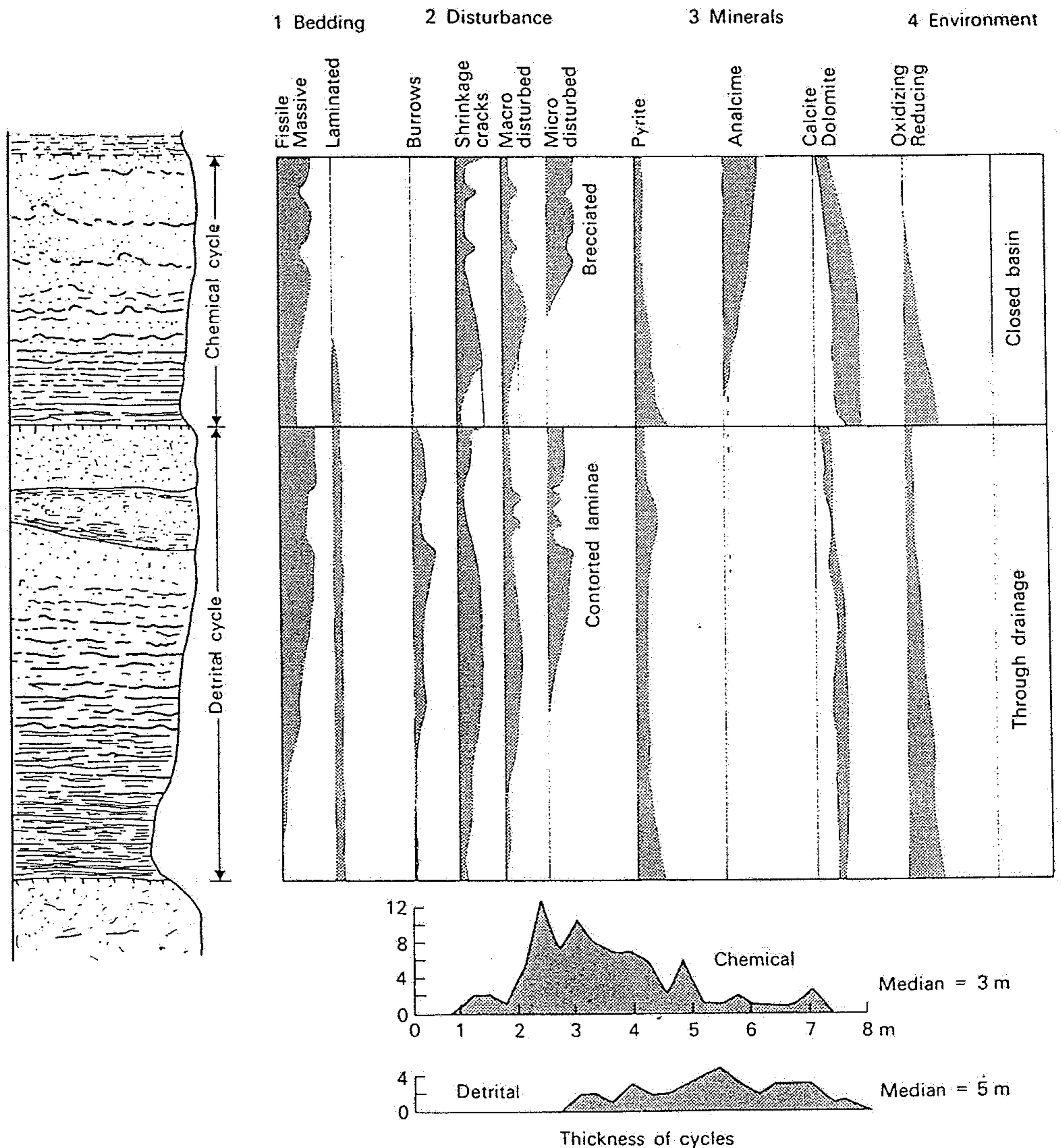
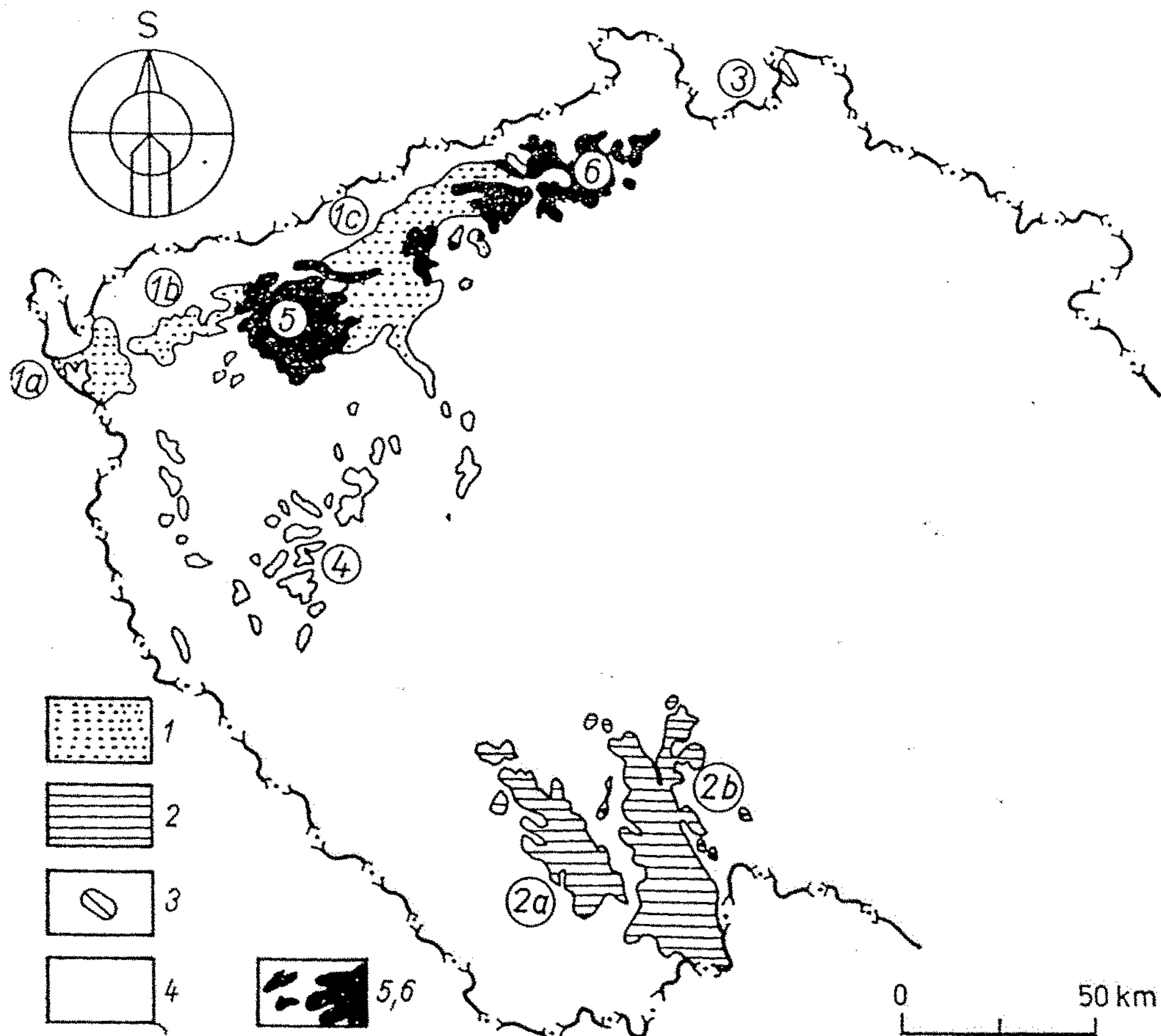


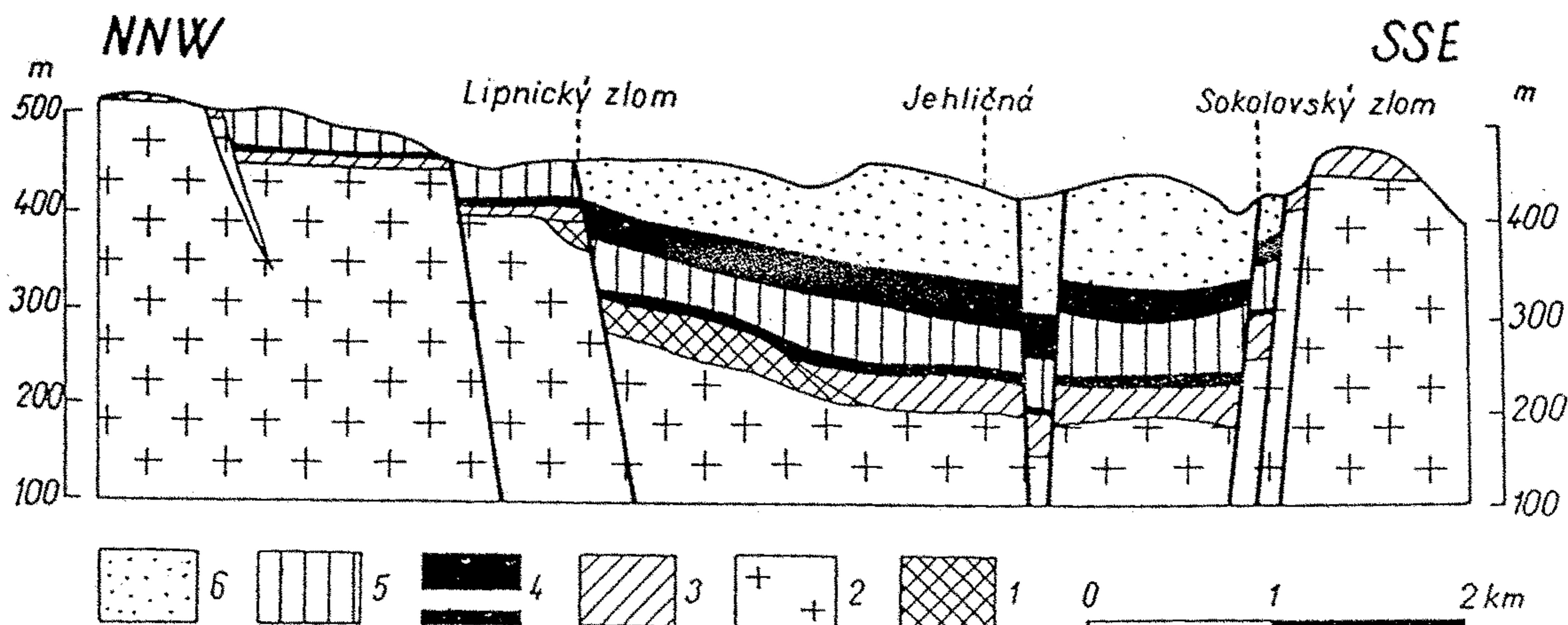
Fig. 4.11. Model of detrital and chemical short cycles in Triassic Lockatong Formation showing distribution and qualitative estimates of prevalence of sedimentary features and selected minerals (after Van Houten, 1964).





Obr. 73. Terciér Českého masívu. (Upraveno podle Návrhu 1976)

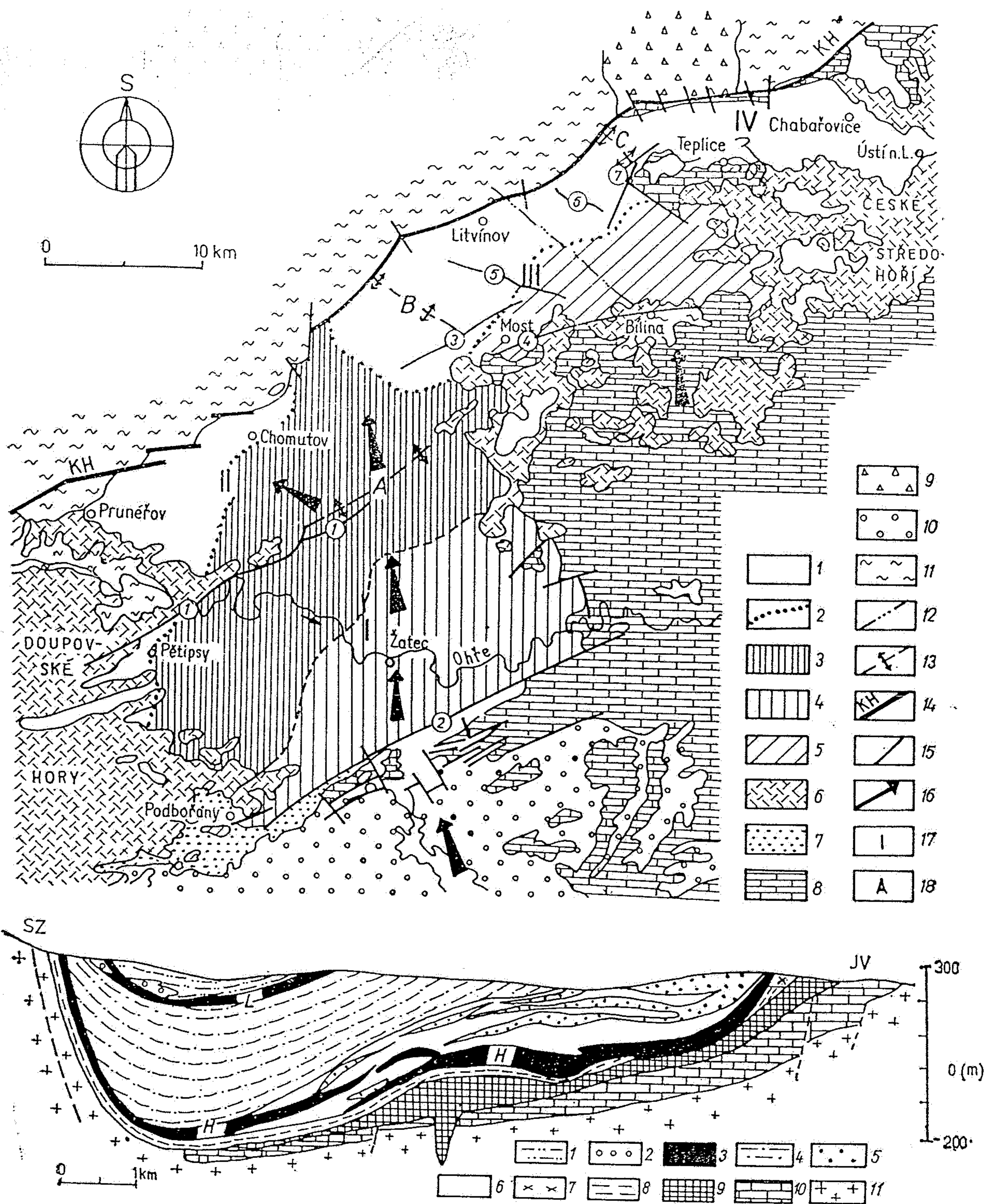
1 — oblast krušnohorských pánví — pánev: a — chebská, b — sokolovská, c — severočeská,  
 2 — oblast jihočeských pánví — pánev: a — českobudějovická, b — třeboňská, 3 — oblast  
 žitavská, 4 — oblast západočeská a středočeská, 5 až 6 — neovulkanity: 5 — Doupovských hor,  
 6 — Českého středohoří



Obr. 180. Řez sokolovskou pánví. — Podle podkladů J. JETELA a P. ŠANTRŮČKA upravil V. HAVLENA.

1 — Krystalinikum, 2 — žula karlovarského masívu, 3 — starosedelská série, 4 — souvrství  
 sloje Josef (dole) a hlavní slojové souvrství (nahore), 5 — vulkanicko-detritické souvrství,  
 6 — cyprisové souvrství.





Obr. 75. Odkrytá geologická mapa severočeské pánve a geologický řez. (Zjednodušeno podle Elznice — Šviráka 1979)

vysvětlivky k mapě: 1 až 5 — mostecké souvrství a jeho ekvivalenty, 1 — sedimenty, 2 — omezení těles žatecké a bílinské delty, 3 až 4 — žatecká delta: 3 — produktivní část, 4 — neproduktivní část, 5 — bílinská delta, 6 — střezovské souvrství: vulkanity a jejich pyroklastika, 7 — starosedelské souvrství, 8 — svrchní křída, 9 — teplický porfyr, 10 — středočeský karbon, 11 — krušnohorské krystalikum, 12 — linie geologického řezu, 13 — osy hrástových a elevačních struktur, 14 — KH — „krušnohorský“ zlom, 15 — další významné zlomy (čísla v kroužcích): 1 — střezovský, 2 — podbořanský, 3 — tzv. jílová rozsedlina, 4 — bílinský, 5 — Viktoria, 6 — inundační, 7 — viktorinsko-giselský a döllingerský, 16 — směr fosilního toku, 17 — části pánve: I — pětipesko-žatecká, II — chomutovská, III — mostecká, IV — teplická, 18 — A — střezovská hrást, B — jezeřsko-ryzelská elevace, C — lahošťská hrást

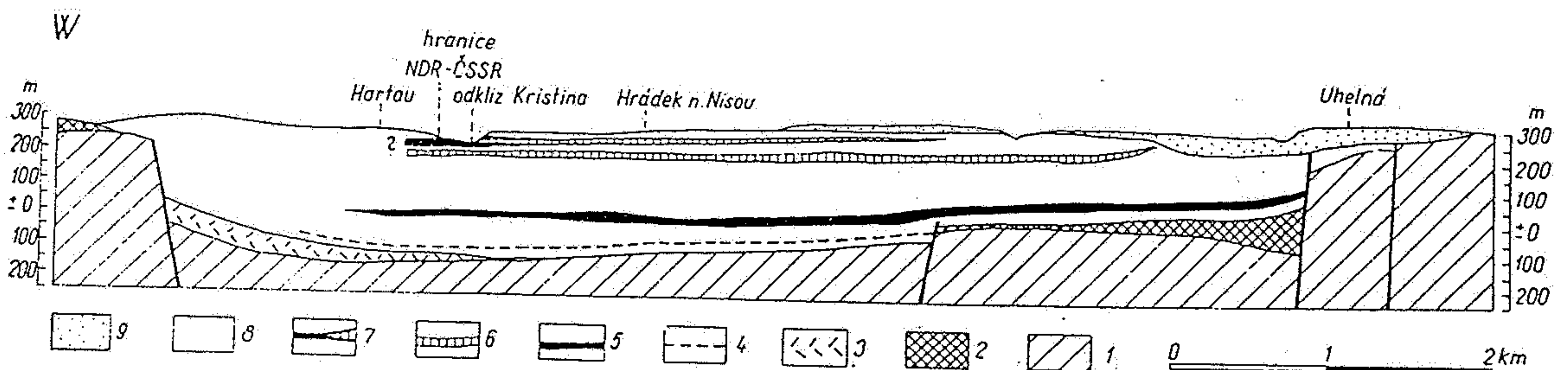
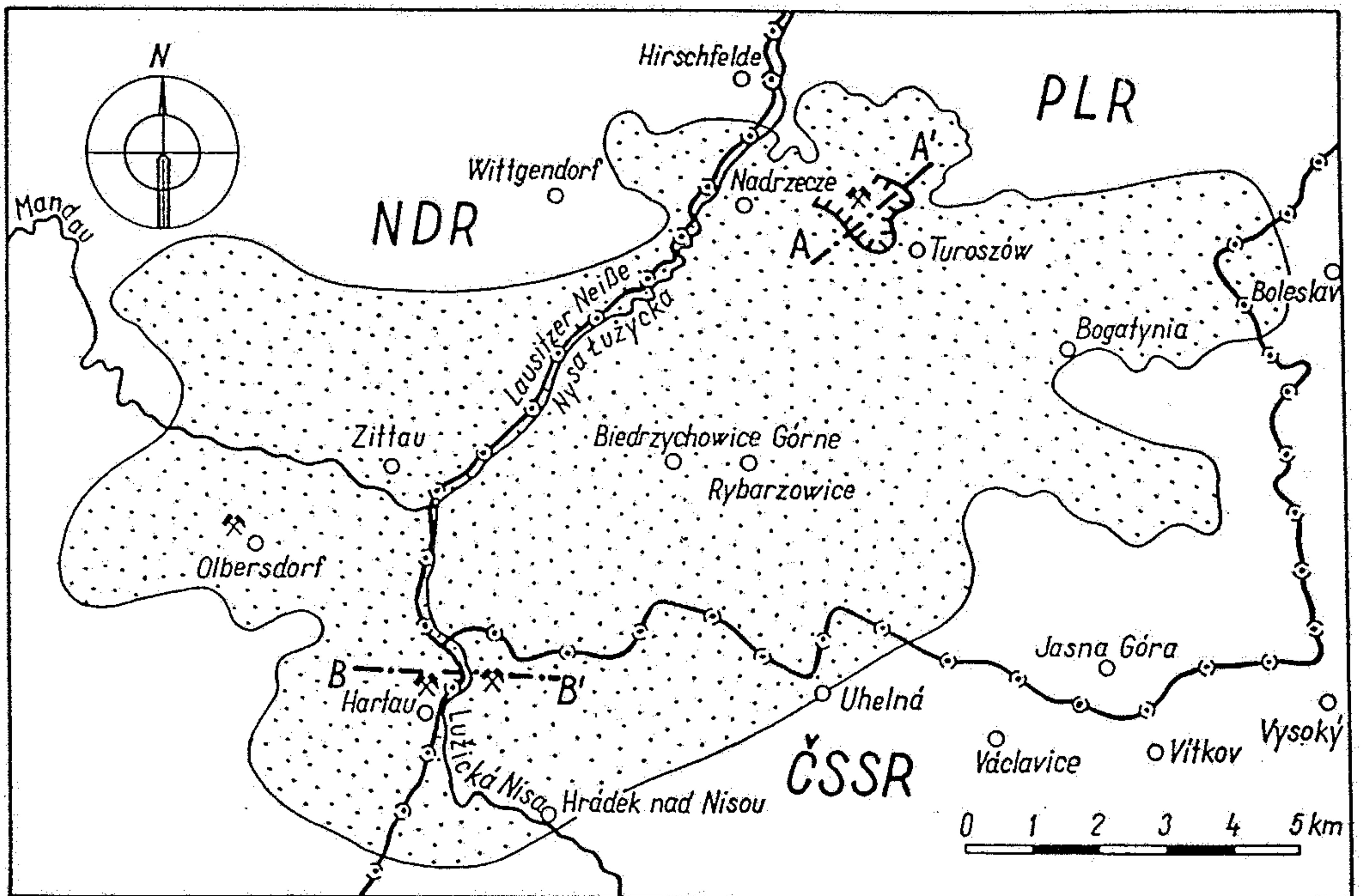
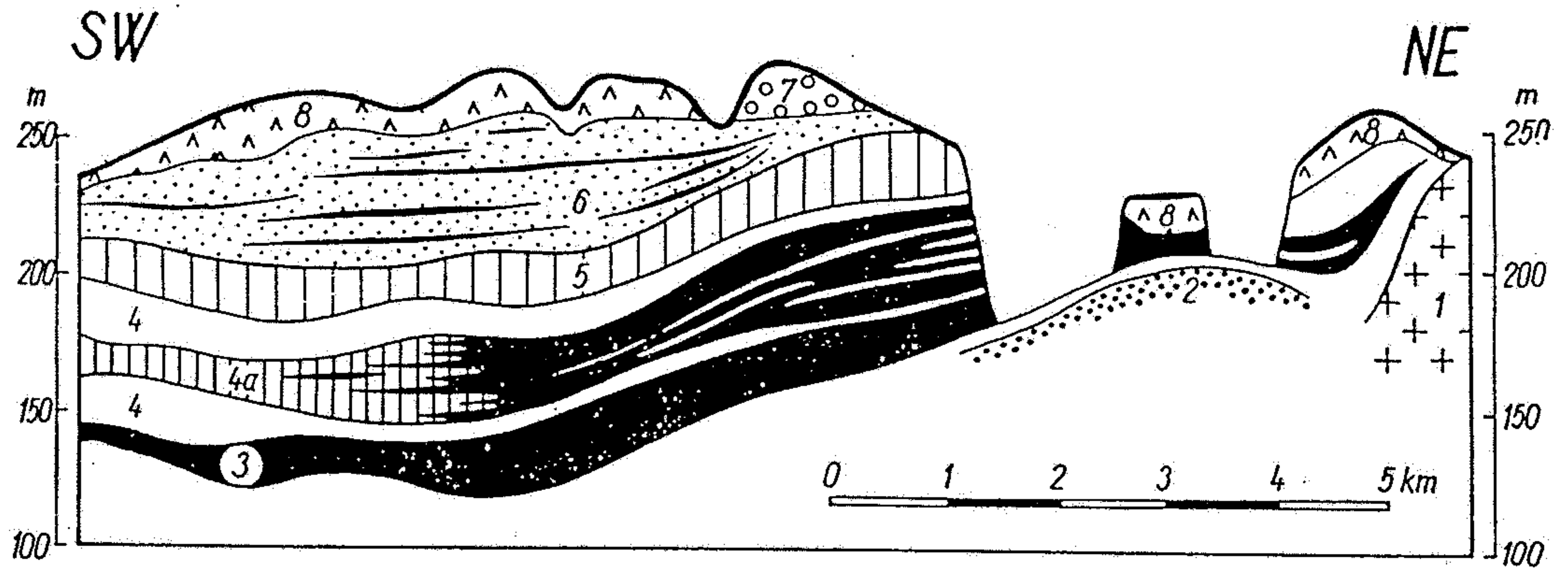
vysvětlivky k řezu: 1 až 8 — mostecká souvrství: 1 až 3 — lomské vrstvy: 1 — jílovité sedimenty, 2 — písčité sedimenty, 3 — uhelné vložky a uhelnaté jíly, L — lomská sloj, H — hlavní sloj holešických vrstev, 4 — libkovičské vrstvy: jílovité sedimenty, 5 až 7 — holešické vrstvy: 5 — písčité sedimenty, 6 — písčitojílovité sedimenty, 7 — zbytky vyhořelé sloje a kausticky přeměněné jílovité sedimenty, 8 — duchcovské vrstvy: jílovité sedimenty s vulkanickou příměsí, 9 — různé typy bazických vulkanitů, 10 — křída, 11 — křemenný porfyr



Obr. 62. Žitavská pánev (nahore) a profil hlavní slojí v odklizu u Turoszowa (dole). — Podklady K. PIETZSCHE (1962) upravil V. HAVLENA.

Spodní profil je veden podle linie A—A' v horním obrázku. Podle linie B—B' je veden profil na obr. 188 v knize V. HAVLENY (1964).

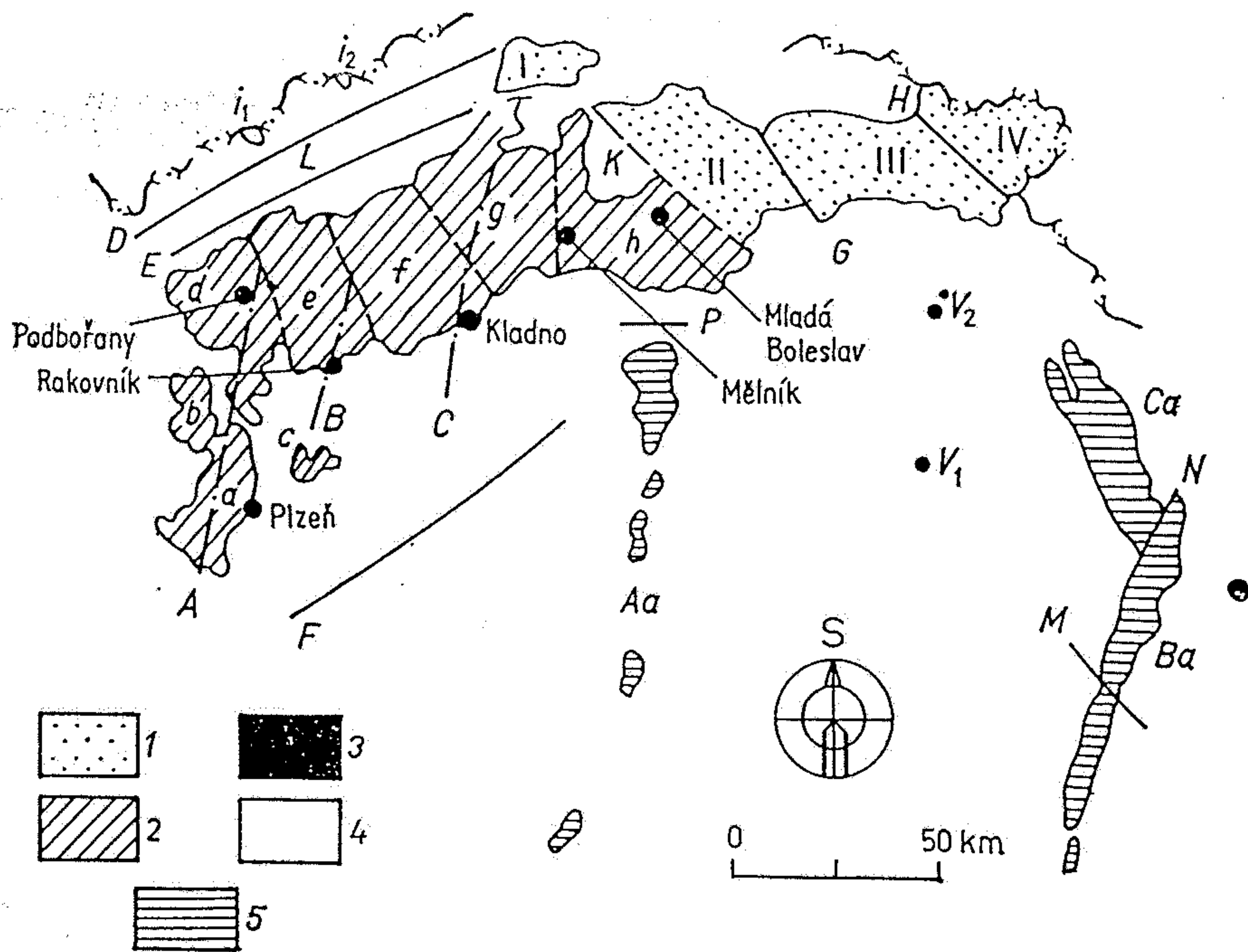
1 — Lužický granodiorit, 2 — podložní písek, 3 — dobytelná sloj, 4 — jíl a uhelný jíl, 5 a 4a — střídání lavic uhlí a jílu, 6 — jíl a uhelný jíl prokládaný slojkami uhlí, 7 — křemenný písek a štěrk, 8 — pleistocén.



Obr. 188. Řez neogénem u Hrádku n. Nisou. — J. VÁCL—J. ČADEK 1962.

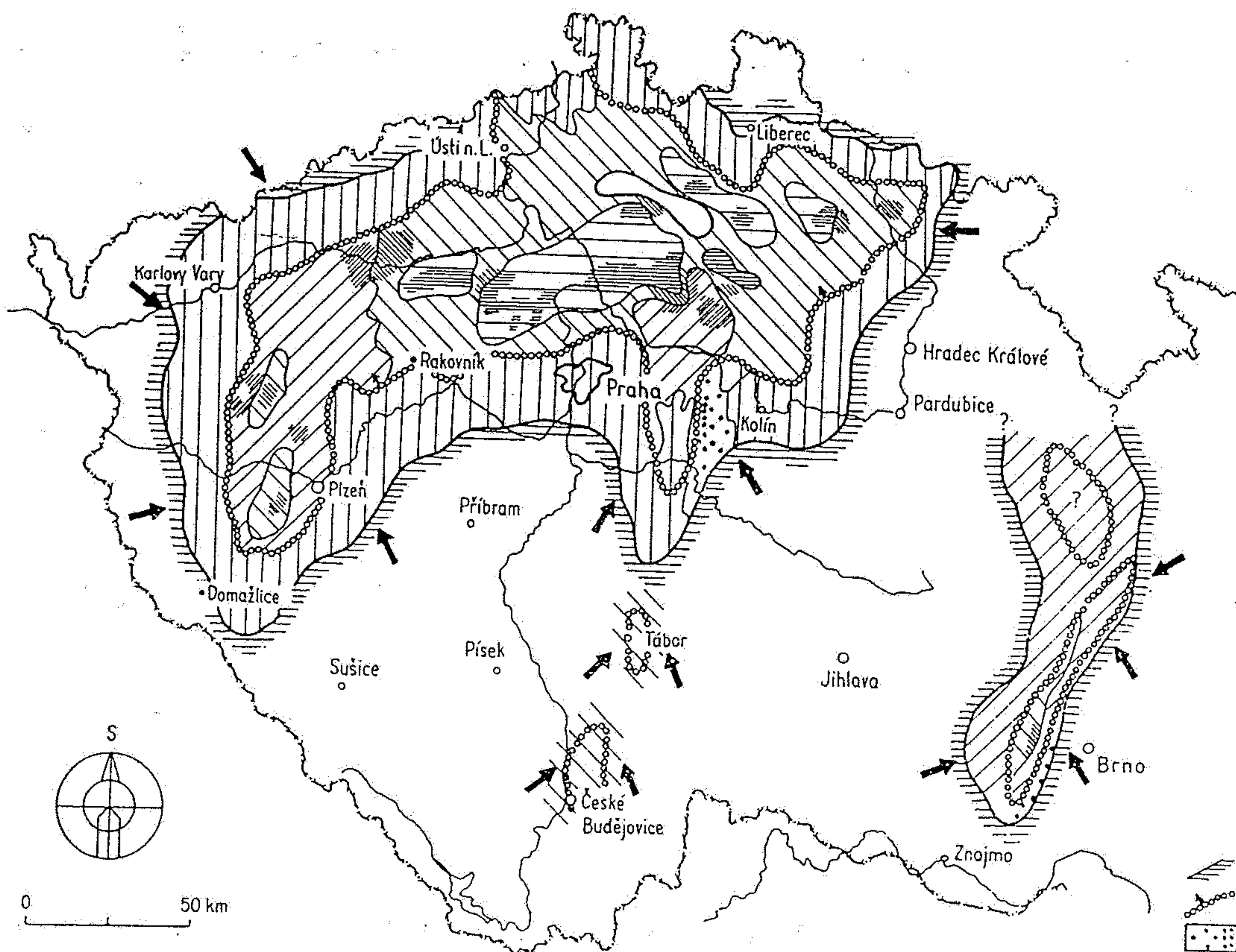
1 — Podloží neogénu, 2 — terciární vulkanit, 3 — tuf, 4 — bazální slojový obzor, 5 — spodní sloj (spodní slojový obzor), 6 — neproduktivní střední slojový obzor, 7 — produktivní (plně) a neproduktivní (svislé čárky) vývoj svrchního slojového obzoru, 8 — jalové miocenní sedimenty, 9 — glacio-fluviální a glaciolakustrinní kvartérní sedimenty.





Obr. 44. Svrchnopaleozoické limnické oblasti a pánve v Českých zemích a některé významné hlubinně založené struktury a zlomy

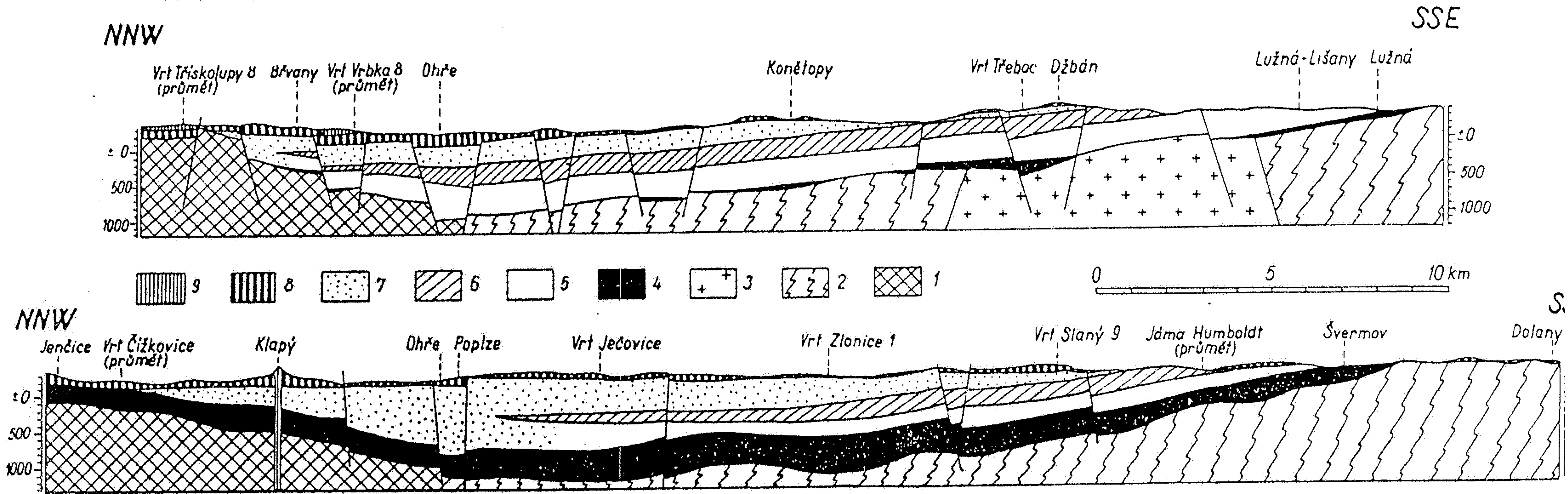
1 — lugická oblast — pánve: I — českokamenická, II — mnichovohradištská, III — podkrkonošská, IV — dolnoslezská, 2 — středočeská oblast — pánve: a — plzeňská, b — manětínská, c — radnická, d — žihelská, e — rakovnická, f — kladenská, g — roudnická, h — mšenská, 3 — železnohorská oblast:  $V_1$  — karbon v Železných horách,  $V_2$  — karbon u Hradce Králové, 4 — krušnohorská oblast:  
 $i_1$  — brandovská pánve,  $i_2$  — karbon u Mikulova, 5 — oblast brázd — brázda:  
 Aa — blanická, Ba — boskovická, Ca — poorlická, A — osa plzeňsko-žihelské brázdy, B — osa radnicko-rakovnické brázdy, C — osa berounsko-kladenské brázdy, D — „krušnohorský zlom“ a jeho pokračování k JZ, E — litoměřický hlubinný zlom a středohorský zlom jako jeho povrchový projev, F — středočeský hlubinný zlom, G — lužický zlom a rovenská porucha, H — hronovsko-poříčská porucha, K — maršovická elevace předkarbonského fundamentu, L — oharský (= ohárecký) rift, M — tišnovsko-kuřimský práh, N — malonínská hrást, P — kounický hřbet předkarbonského fundamentu



Obr. 19. Na příkladu limnické permokarbonské sedimentace v Českém masívu je doloženo rozmístění paleogeografických prostředí v limnické uhlonosné pánvi Interval: střední stefan. (Upraveno podle Havleny-Peška 1980)

1 — hranice snosné oblasti s limnickou pánví, 2 — hranice bezuhelné proluviální sedimentace s akumulací plošinou (ta je ve směru šipek), 3 až 7 — litofaciální komplexy (široká šrafa — předpoklad, úzká šrafa — ověřeno ve výchozech a vrtech):  
 3 — proluviální, 4 — říční, 5 — říční převažující nad jezerními, 6 — jezerní převažující nad říčním, 7 — jezerní, 8 — vnitropánvní oblasti snosu, 9 — směr snosu

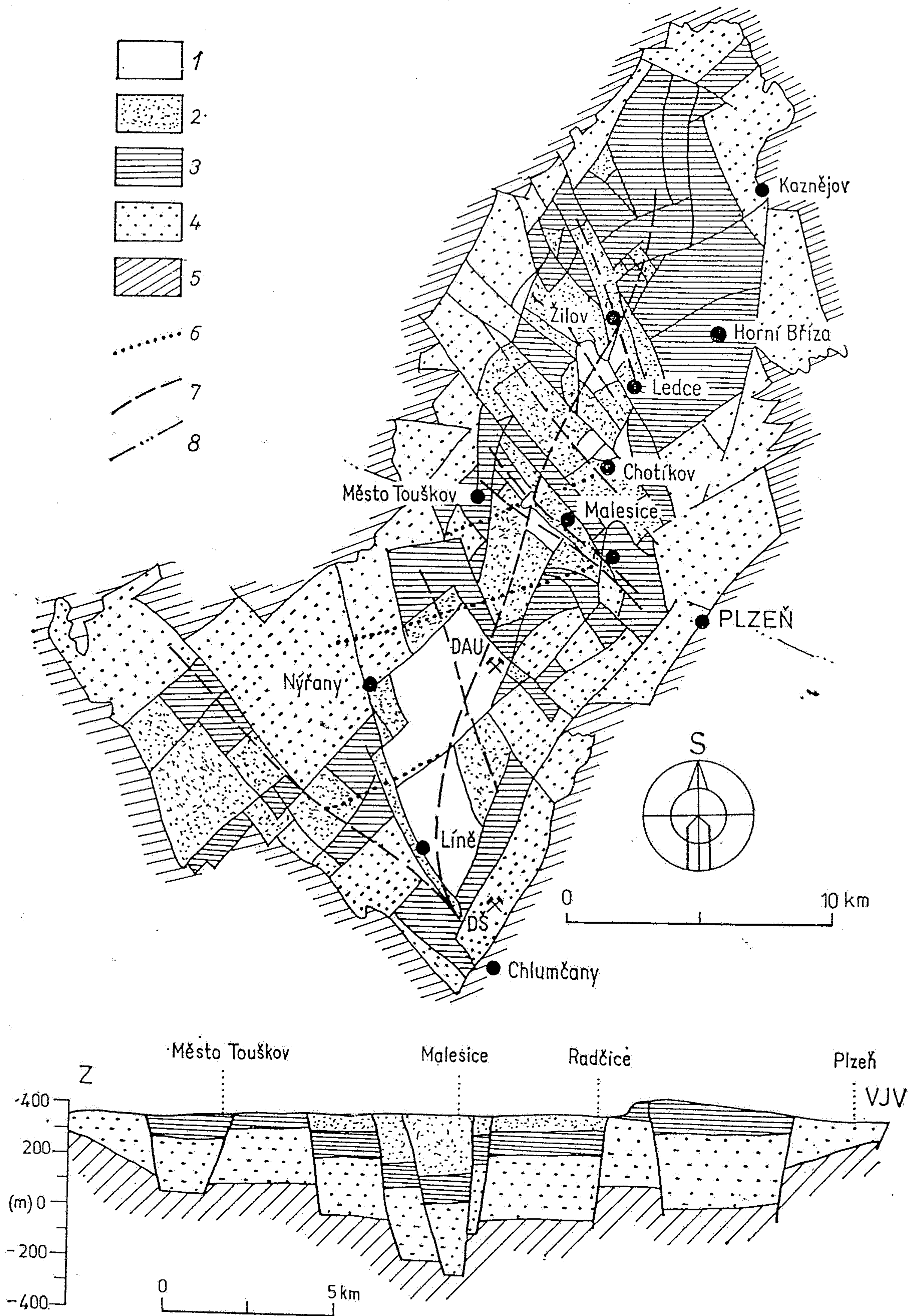




Obr. 127. Dva příčné řezy kladensko-rakovnickým karbonem podél linií v příl. 7. — Originál.

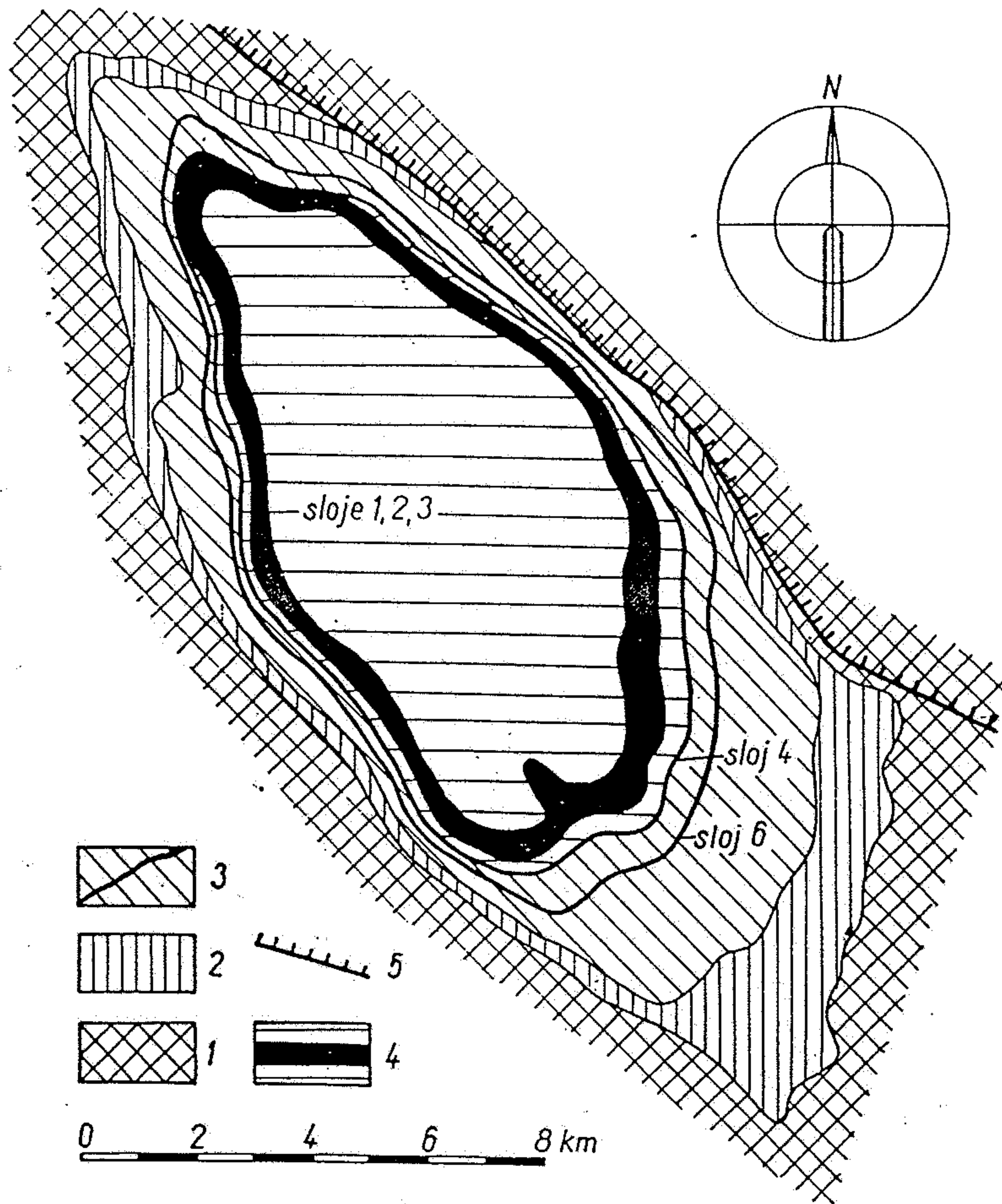
1 — Krušnohorské krystalinikum, 2 — proterozoikum, 3 — žula, 4 — souvrství I, 5 — souvrství II, 6 — souvrství III, 7 — souvrství  
 8 — svrchní křída, 9 — neogenní sedimenty a vulkanity.



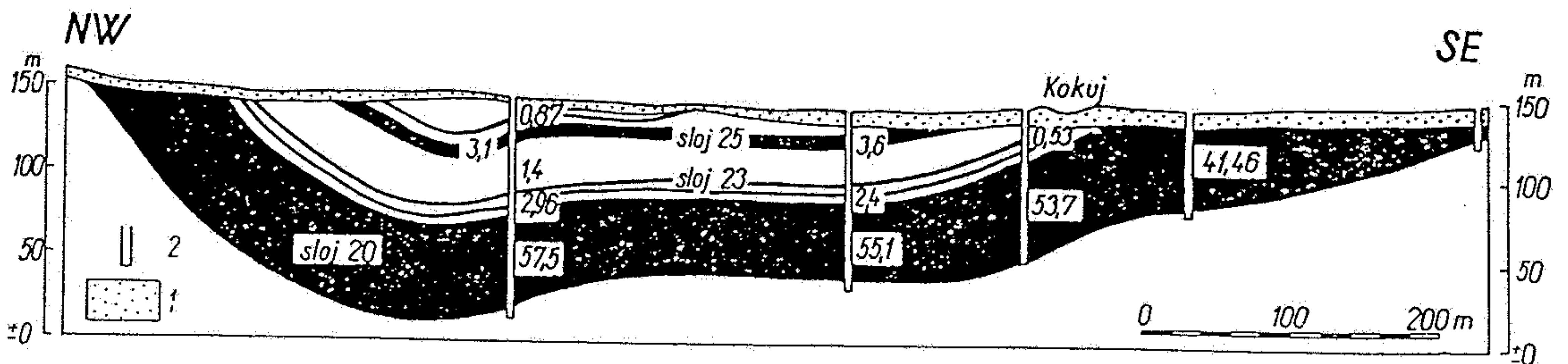


Obr. 57. Odkrytá geologická mapa karbonu plzeňské pánve a geologický řez  
 1 až 4 — souvrství: 1 — liňské, 2 — slánské, 3 — týnecké, 4 — kladenské, 5 — svrchní proterozoikum, 6 — osy hlavních produktivních morfologických depresí radnických vrstev, 7 — osa centrální deprese směru SSV-JJZ a příčných depresí směru SZ-JV, 8 — linie geologického řezu, DAU — Důl Antonín Uxa, DŠ — Důl Dobré štěstí





Obr. 22. Geologická mapa pánve Ekibastuz. — GORNOJE DELO 1957.  
 1 — Devon, 2 — spodní tournai a akkudukské souvrství  $C_1^{t_3}$  (svrchní tournai), 3 — ašljarikské souvrství  $C_1^{t_3-v_1}$  s uhelnou slojí (rozhraní tournai-visé), 4 — karagandské souvrství  $C_1^{v_2-v_3}$  s uhelnou slojí (visé), 5 — porucha.



Obr. 28. Profil ložiskem Kokuj, revír Listvjažnyj III, tunguzská pánev. — A. K. MATVEJEV 1960.  
 1 — Pleistocén, 2 — vrty a mocnosti navrtaných slojí v metrech.